



外界をモデル化する脳の回路メカニズム —海馬と大脳皮質—

Brain's network mechanisms to model the external world

深井 朋樹
理化学研究所 脳科学総合研究センター

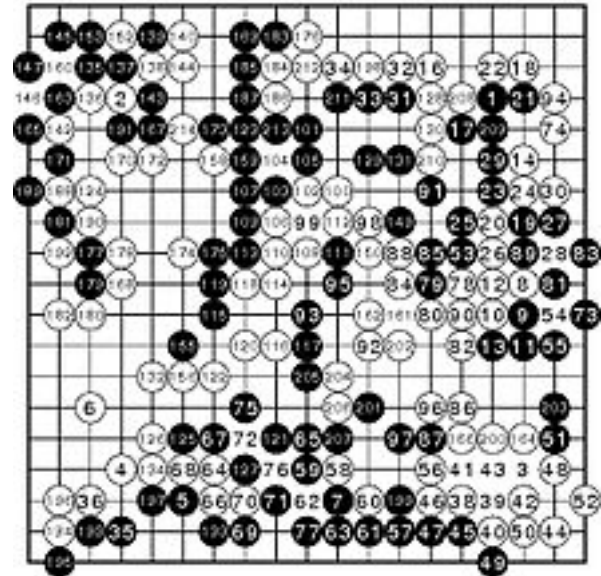
2017年8月4日 @電気通信大学

頂上決戦 !!

Game of GO (碁)

2016 Mar: 李世乭(イ・セドル) 九段 vs Alpha GO

2017 May: Alpha GO vs 柯潔(か・けつ) 九段



李世乭
(Wikipedia)



柯潔
(Google)

ディープ Qラーニング

$$Q^*(s, a) = \max_{\pi} \mathbb{E}_{\pi}[r_t + \gamma r_{t+1} + \gamma^2 r_{t+2} + \dots | s_t = s, a_t = a, \pi]$$

big data of past game record

value evaluation of current state

machine vs. machine

Silver et al., Nature 2016

「論理的思考」ではなく「経験と勘」を養うことによる勝利

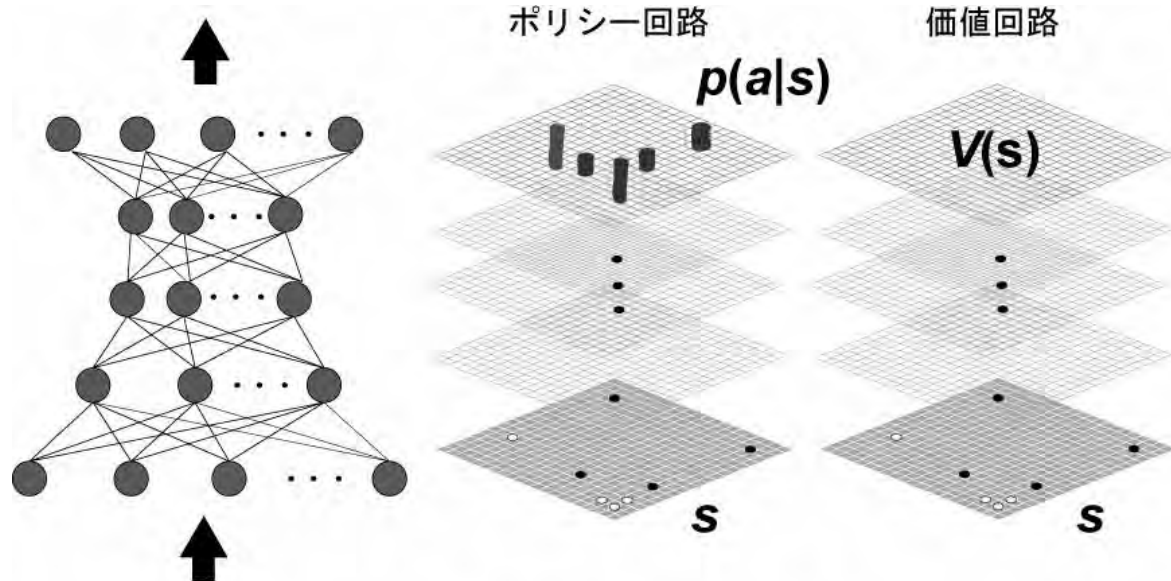
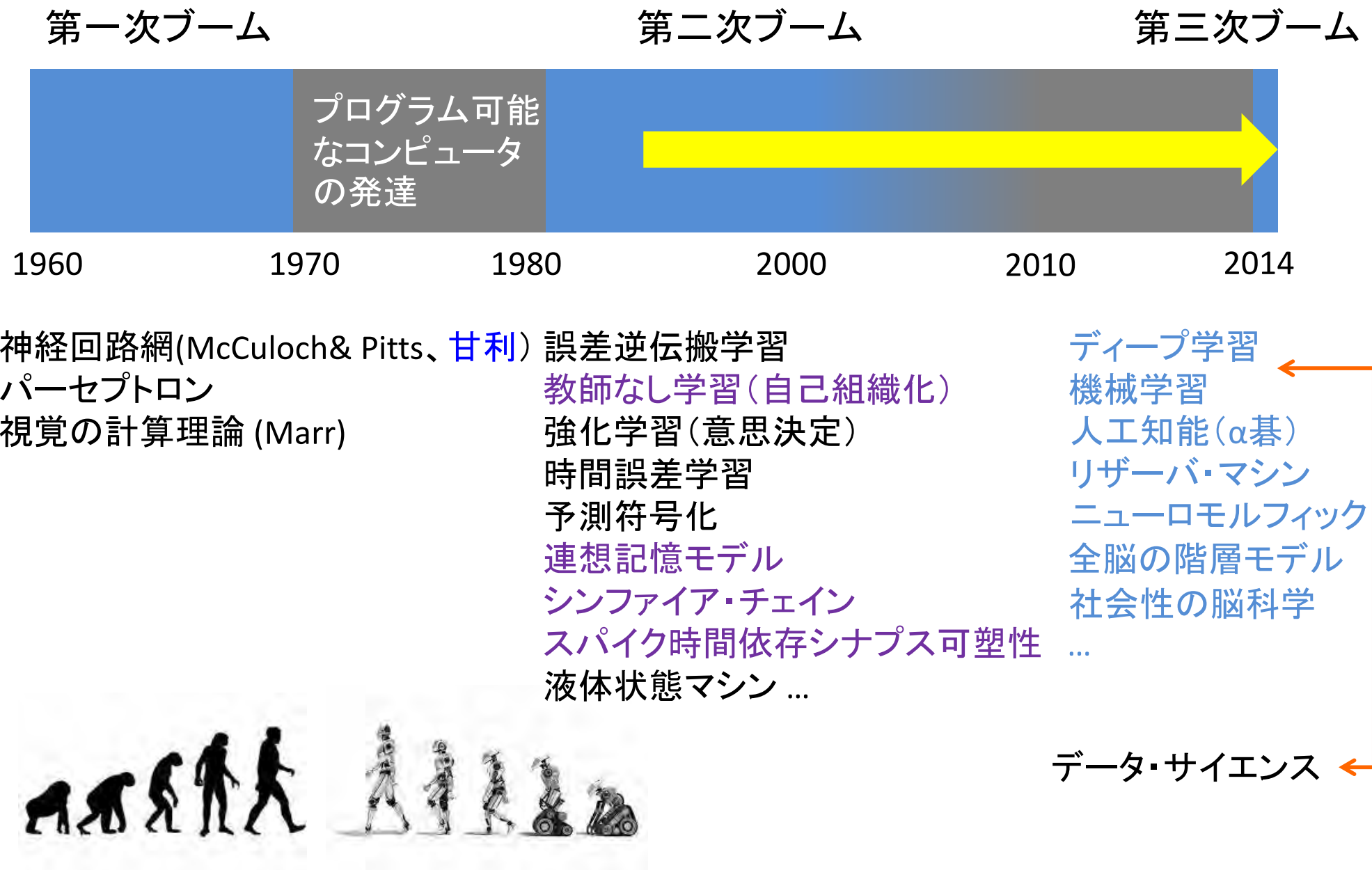


図3：深層学習による棋の習得



脳の計算理論の発展



脳は学習する。何のために？

→ 外界の特徴を検出し、外界をモデル化するため



では何のためにモデル化する

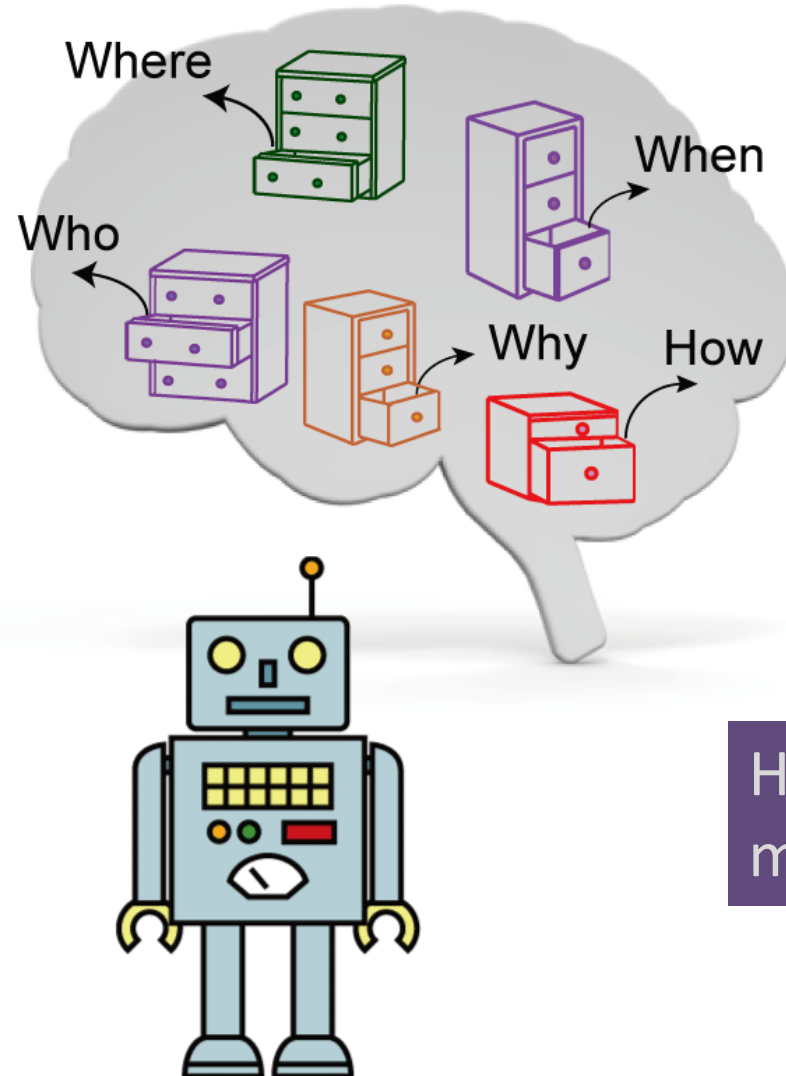
→ 世界の動きを予測し、行動を
計画するため



統計的モデル



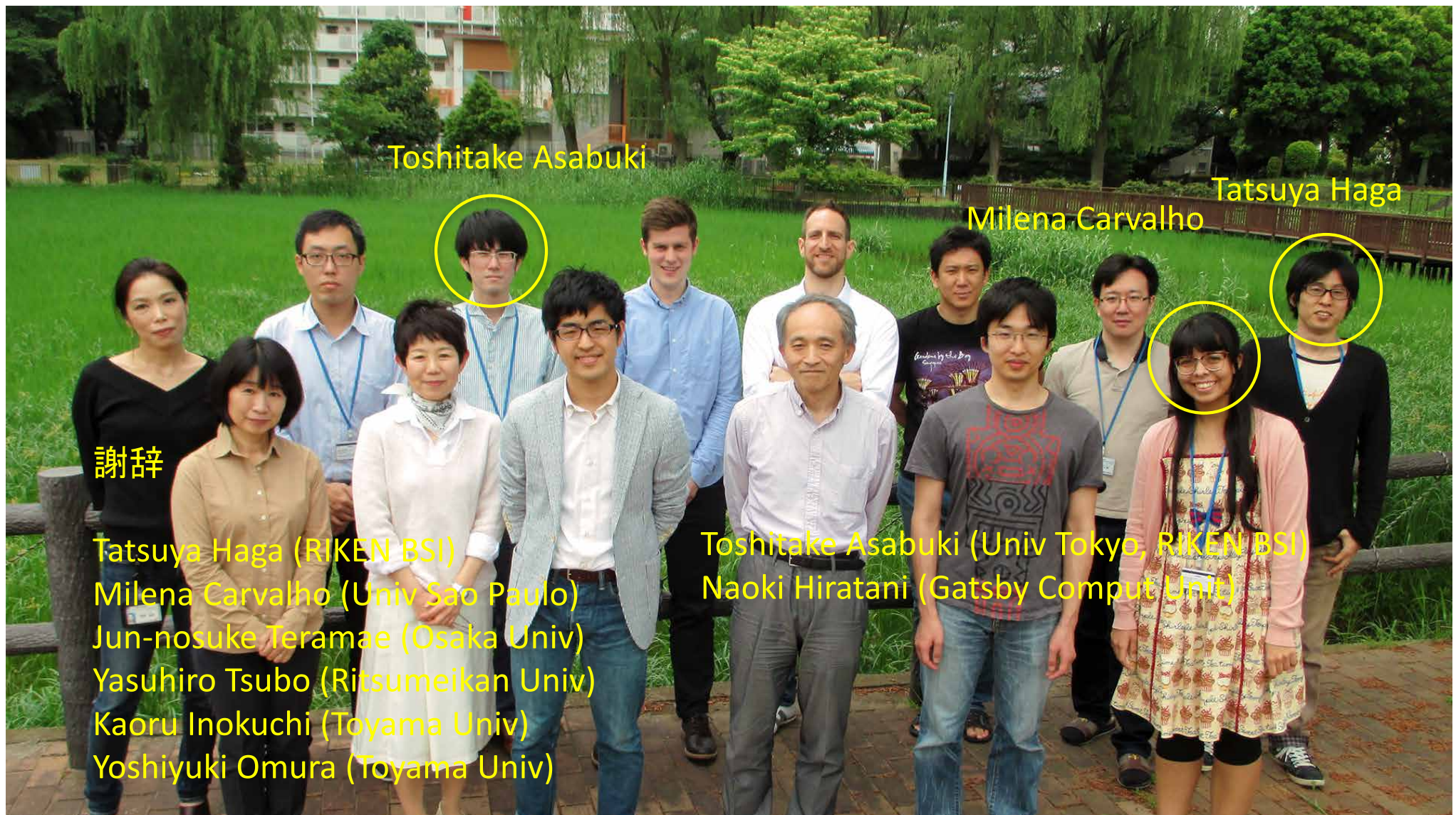
脳は記憶というビッグデータをどう扱っているのか？



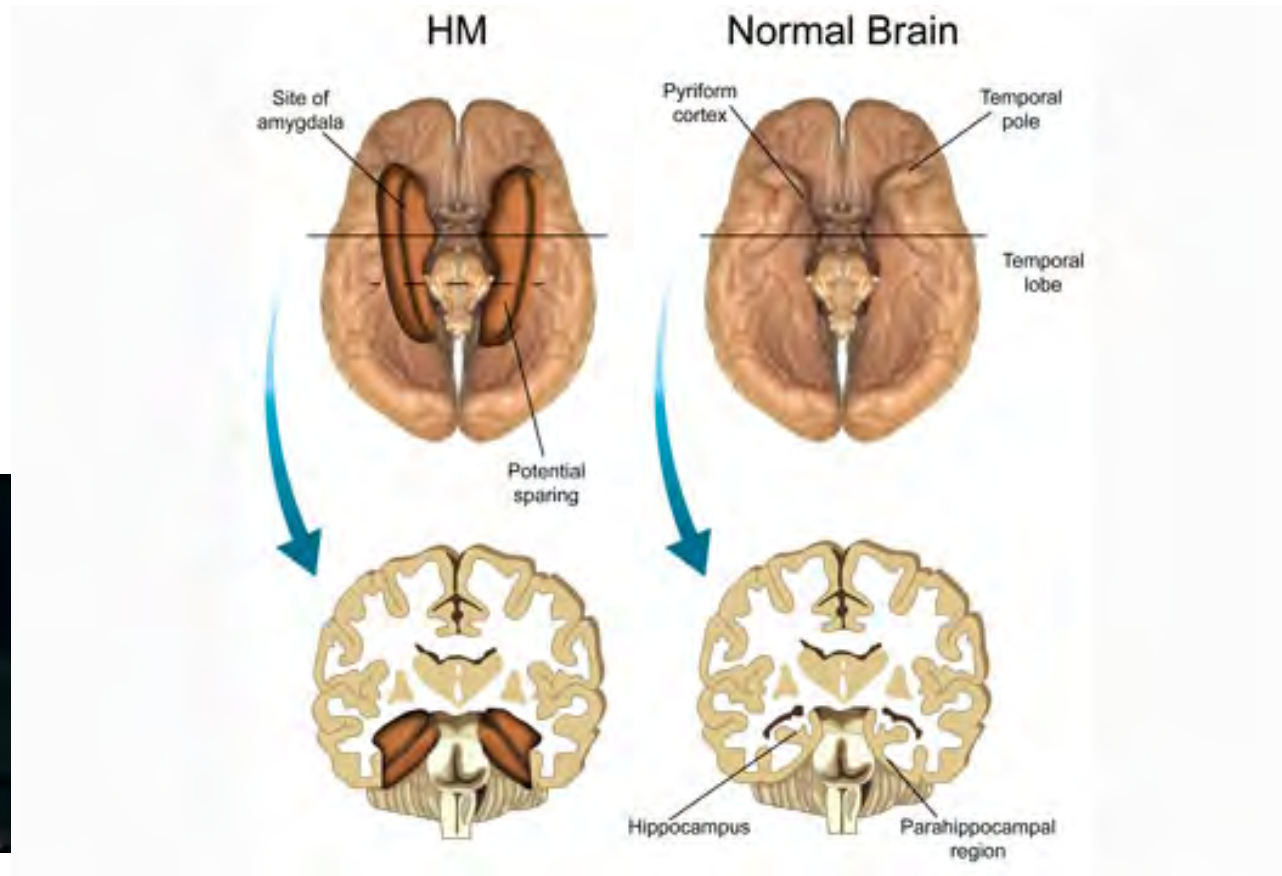
- 素早い記憶 (one-shot learning)
- 文脈依存の想起
- 報酬依存の記憶・学習

Human-like memory systems will
make AI more human-like

Laboratory for Neural Circuit Theory

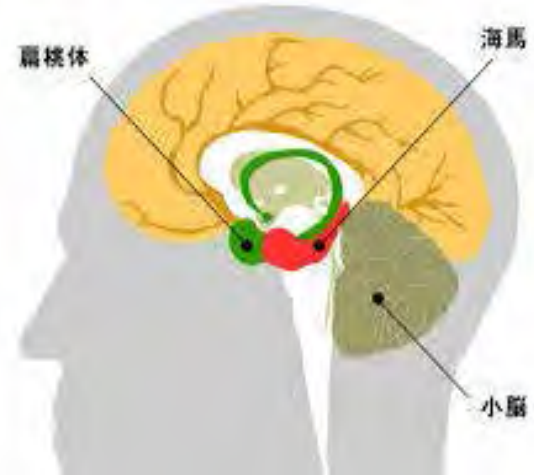
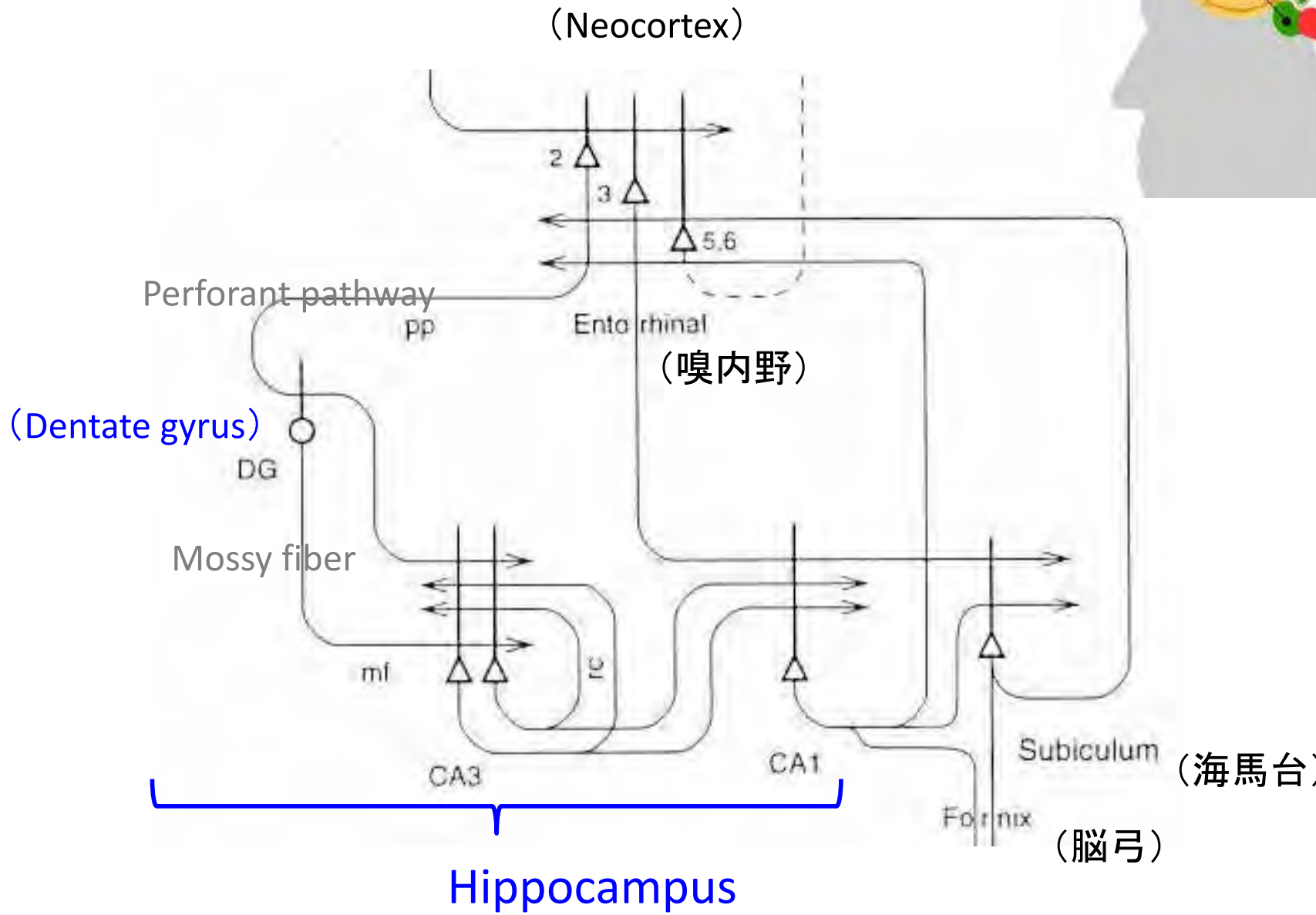


H.M.



In the case of H.M., the memory deficiency remained permanent. Even a half-century later, H.M. still leads a life of quiet confusion. He lives in a hospital but must be re-introduced to his doctors every day. He does not recognize terms such as "VCR" or "Jacuzzi" and other things that have been invented since his surgery. And though he remembers the date of his birthday, he typically underestimates his age when asked. In many ways, H.M.'s memory remains "trapped" in a world of a half-century ago.

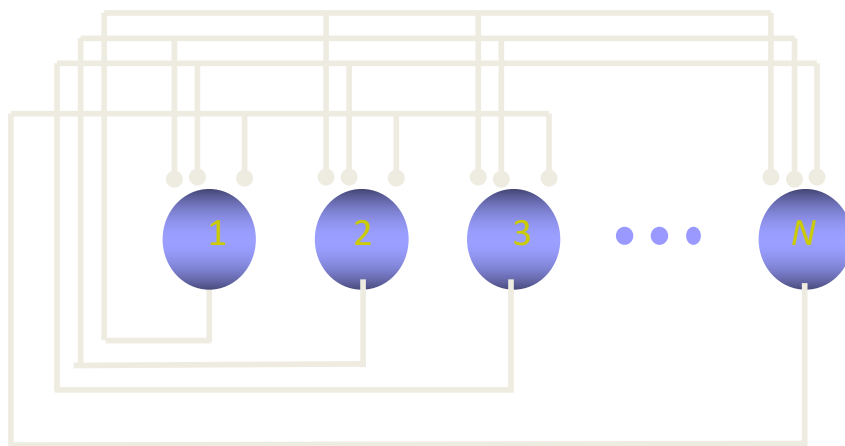
Memory-related circuits



Hopfieldの連想記憶モデル

(Hopfield, 1982)

P 個の活動パターンを記憶させる



ネットワークの時間発展

$$S_i(t+1) = \begin{cases} 1 & \text{if } \sum_{j=1}^N J_{ij} S_j(t) > h \\ 0 & \text{それ以外の場合} \end{cases}$$

状態 “ $S=1$ ” → “発火”
状態 “ $S=0$ ” → “非発火”

ニューロン間のシナプス結合

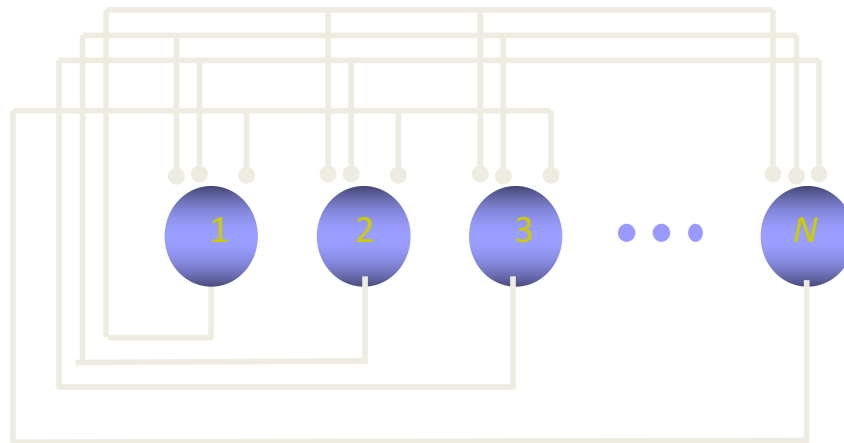
$$J_{ij} = \frac{1}{N} (A_i A_j + B_i B_j + C_i C_j + \dots)$$

$$i, j = 1, 2, \dots, N$$

Hopfieldの連想記憶モデル

(Hopfield, 1982)

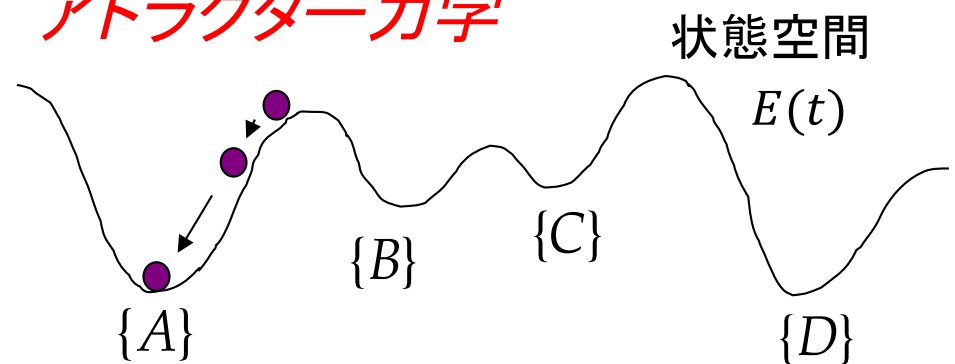
P 個の活動パターンを記憶させる



状態空間のランドスケープ

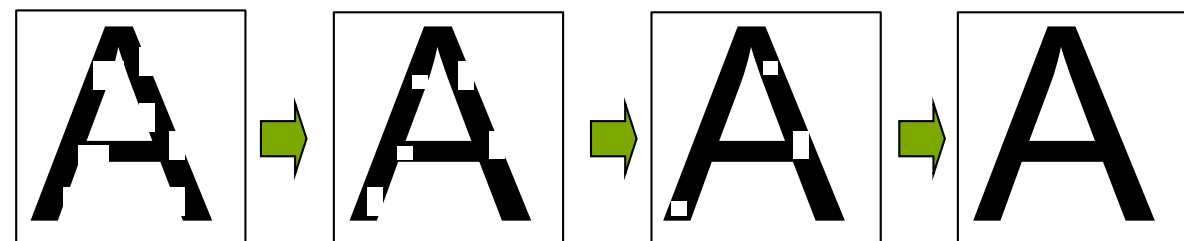
$$E(t) = -\frac{1}{2} \sum_{j \neq i}^N J_{ij} S_i(t) S_j(t) + \sum_{i=1}^N h_i S_i(t)$$

アトラクターランス



- $S=0$ をとる細胞
- $S=1$ をとる細胞

“パターン補完”

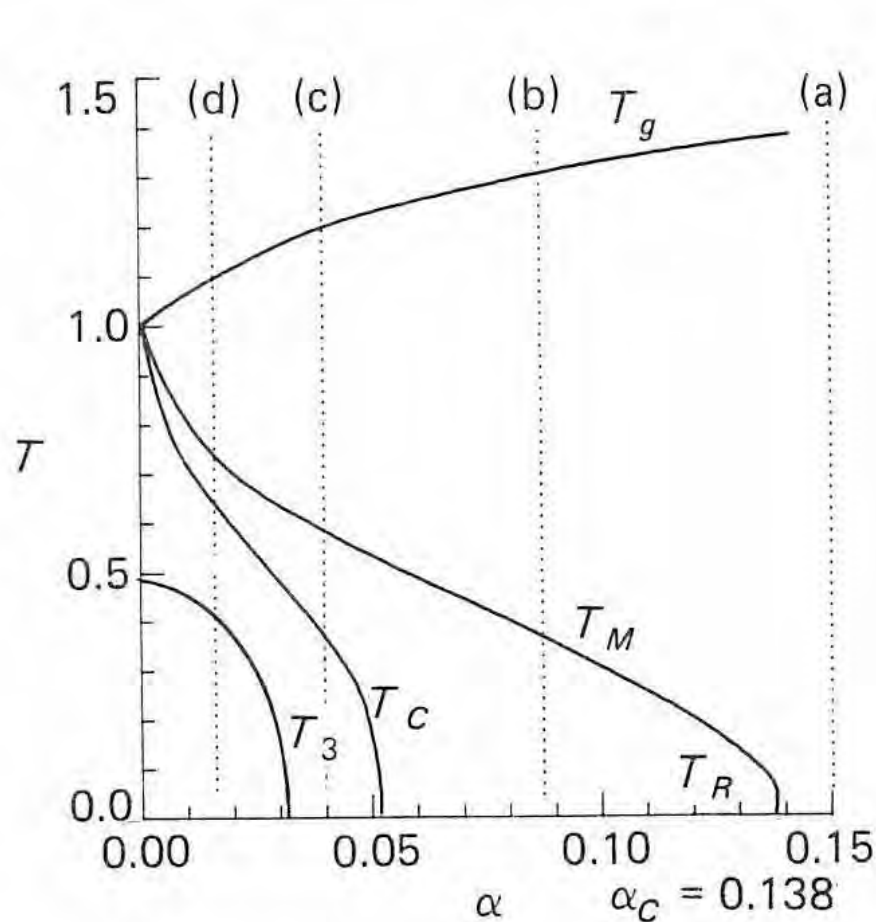


連想記憶のスピングラス理論：臨界記憶容量

Amit, Gutfreund, Sompolinsky, Phys Rev Lett (1985)
Shiino and Fukai, Phys Rev E (1993) SCSNA

...

Probabilistic retrieval dynamics



$$S_i(t+1) = \begin{cases} 1 & \text{probability } p = \frac{1}{1 + \exp(-(h(t) - \theta)/T)} \\ 0 & \text{probability } 1 - p \end{cases}$$

Local fields $h_i(t) = \sum_{j=1}^N J_{ij} S_j(t)$

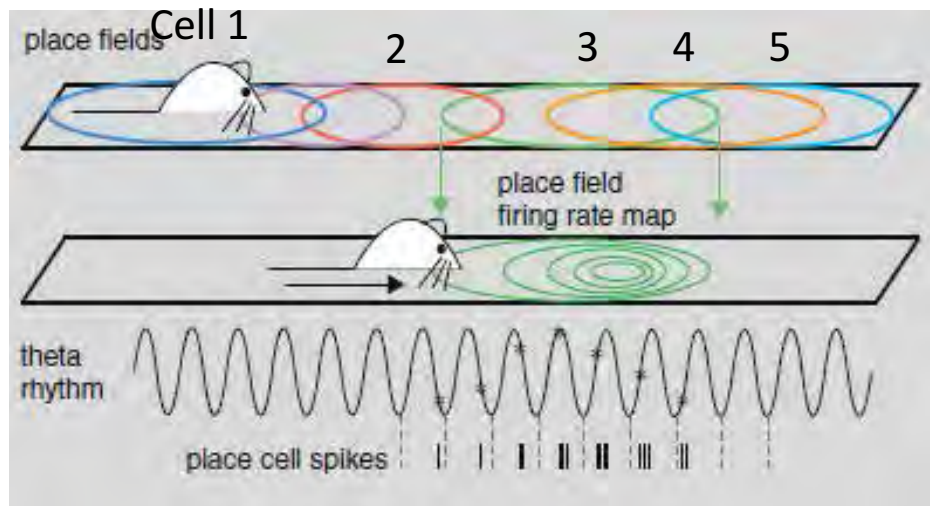
T : temperature parameter

$\alpha = \frac{P}{N}$: storage capacity

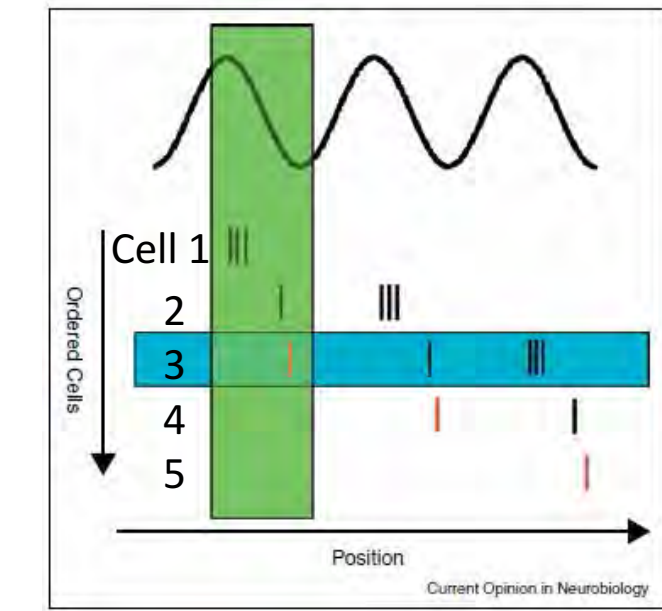
Sequence memory in the hippocampus: place cells



θ -phase precession (Jon O'Keefe)



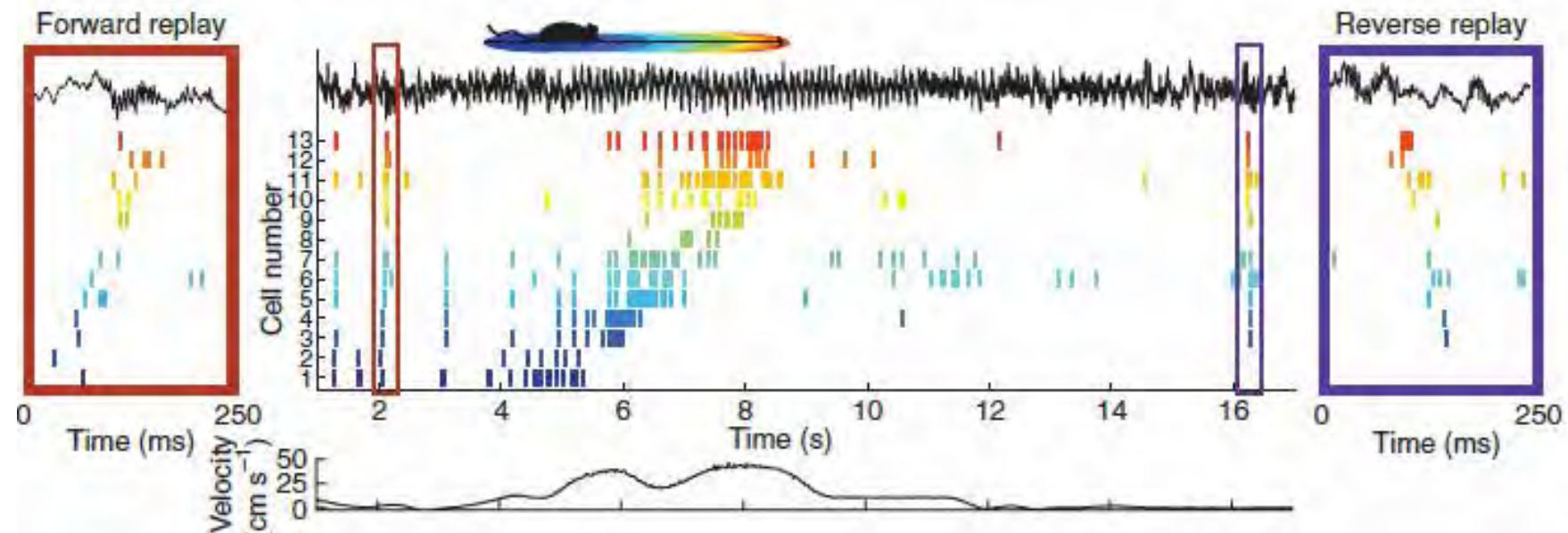
θ -sequence



(Foster et al., 2012)

順行性及び逆行性Replay活動

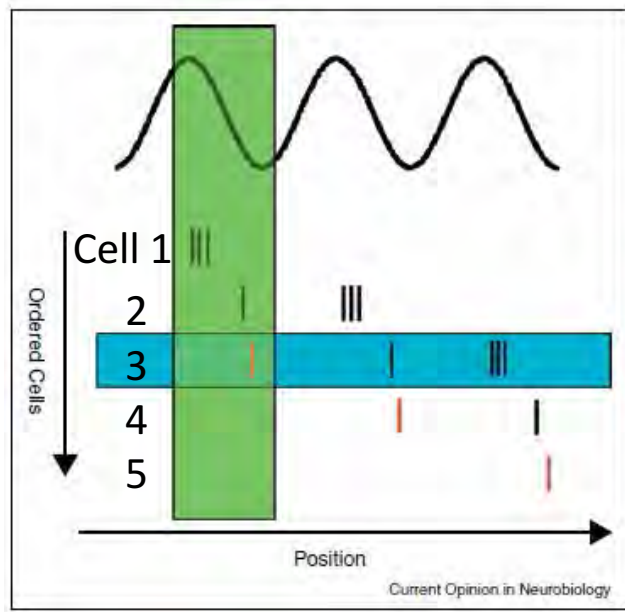
Forward Replay



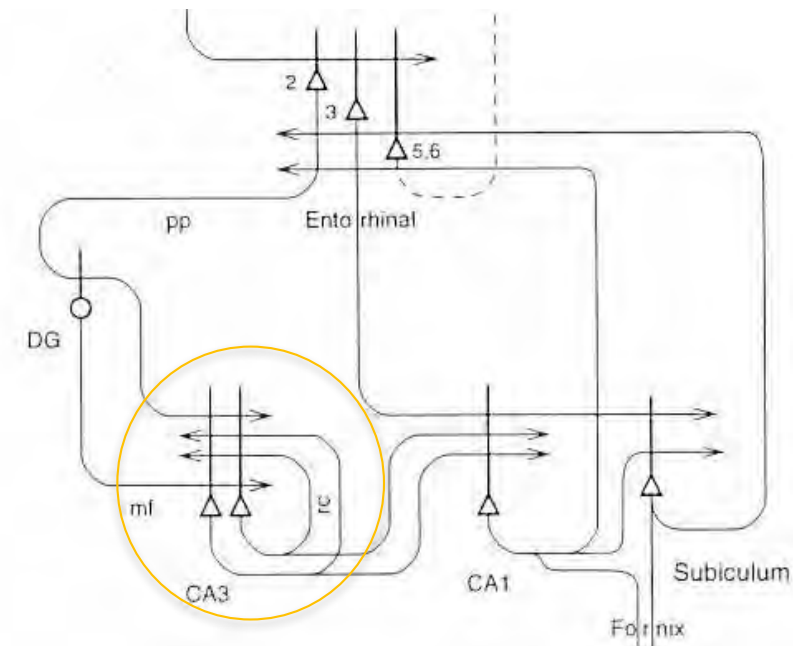
(Carr et al., 2011)

*Replay活動は海馬CA3の反響神経回路で生成される
(Nakashiba et al., 2009)

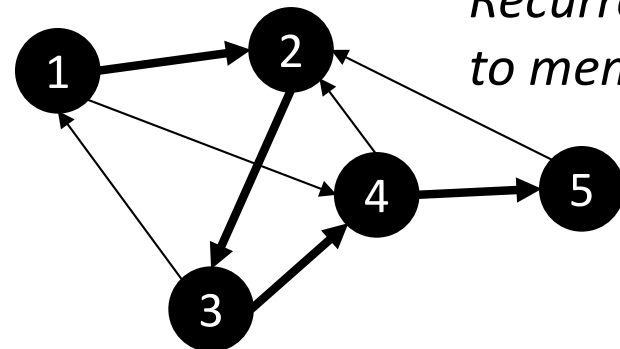
Sequence memory in the hippocampus: place cells



(Foster et al., 2012)



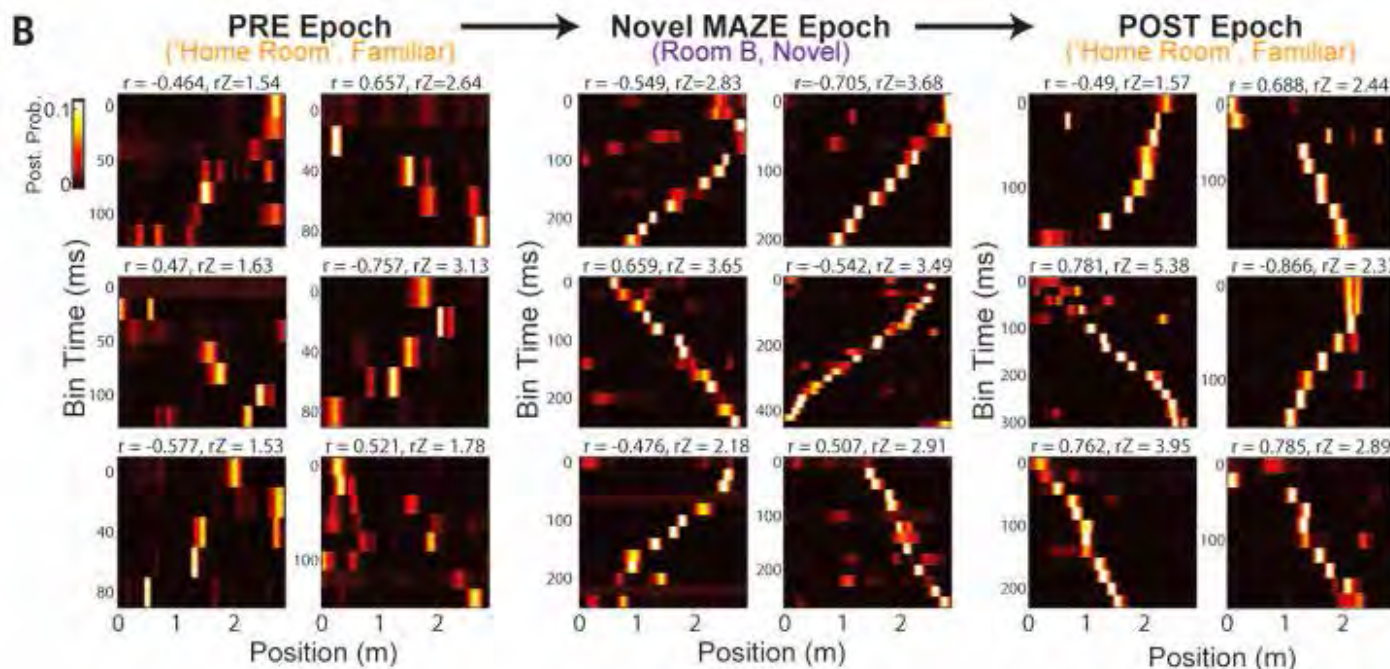
Standard view



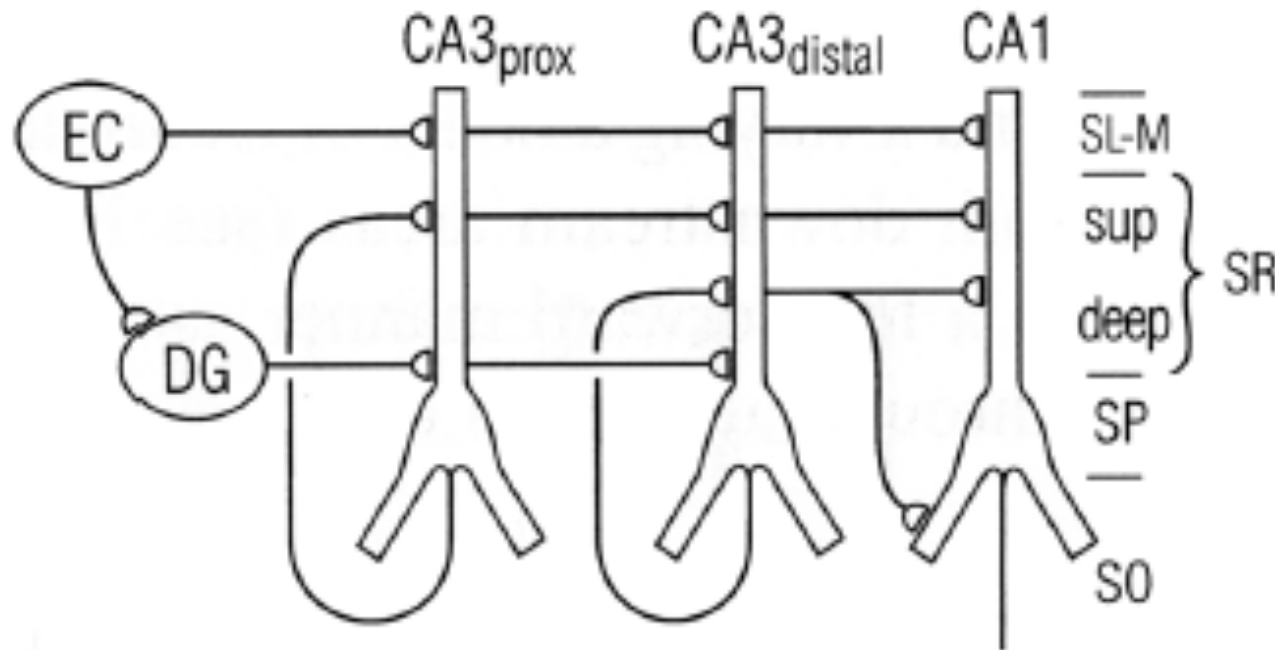
Recurrent circuit of CA3 is heavily remodeled to memorize firing sequences.

Preplay suggests a novel framework of hippocampal memory processing

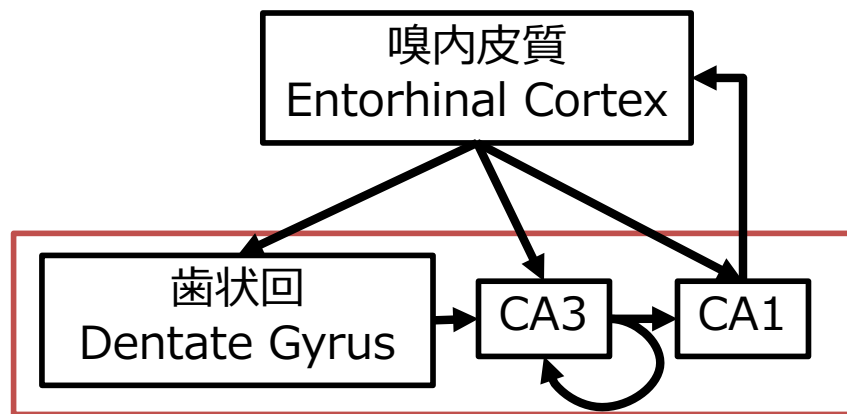
- 😊 Spontaneous activity *preceding* a novel spatial experience may contribute to the formation of new spatial memory. Dragoi and Tonegawa (2011) *Nature*
- 😔 Trajectory events across hippocampal place cells require previous experience. Silva, Feng & Foster (2015) *Nat Neurosci* 2015.
- 😊 Diversity in neural firing dynamics supports *both rigid and learned sequences*. Grosmark & Buzsáki (2016) *Science* (2016).



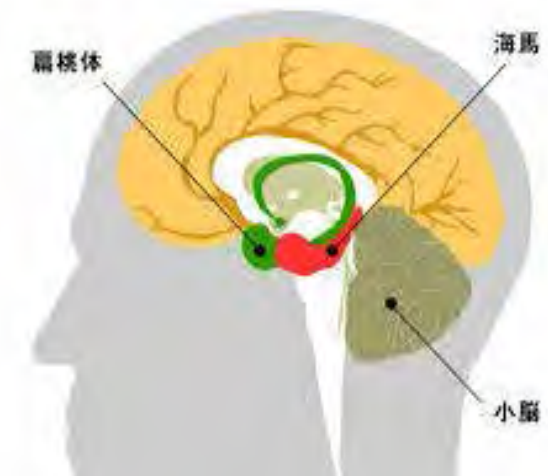
Mesoscopic view of hippocampal structure



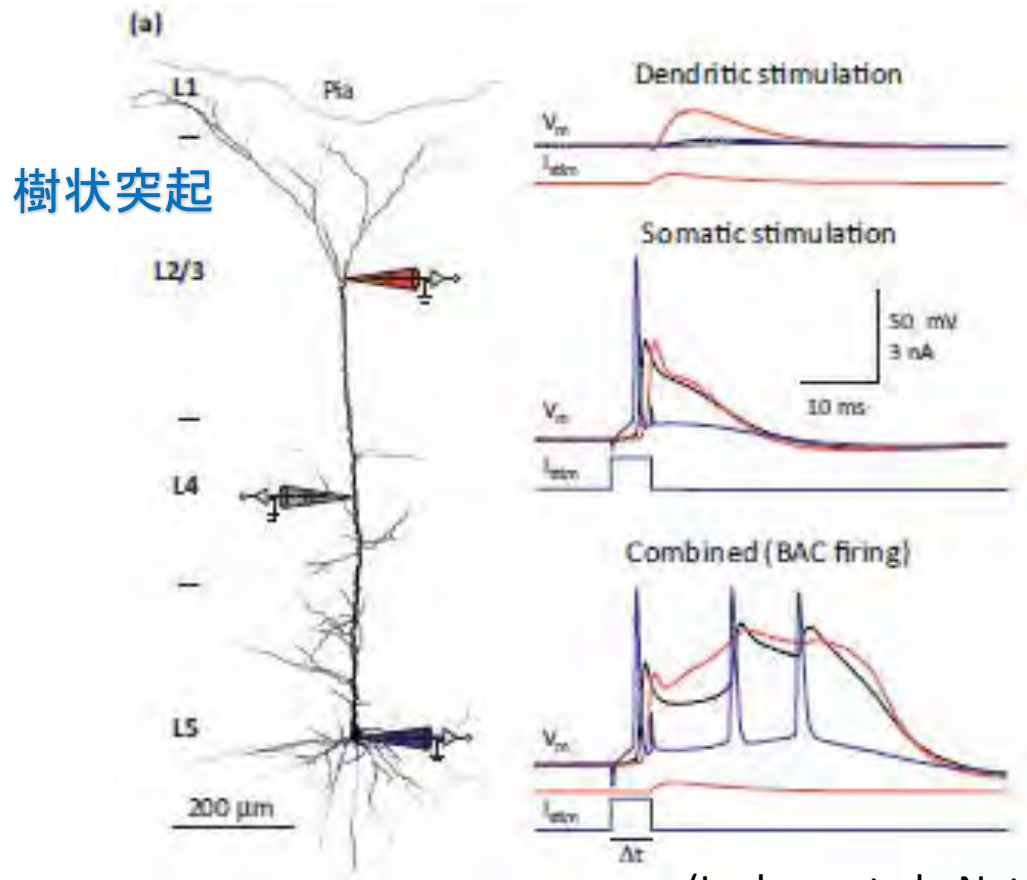
Shepherd, Front Neurosci 2011



海馬 Hippocampus



Calcium spikes detect coincident inputs to proximal and distal dendrites



(Larkum et al., Nature 1999)

Uncorrelated inputs
→ Rapid decay

Correlated inputs
→ prolonged Ca^{2+} spikes

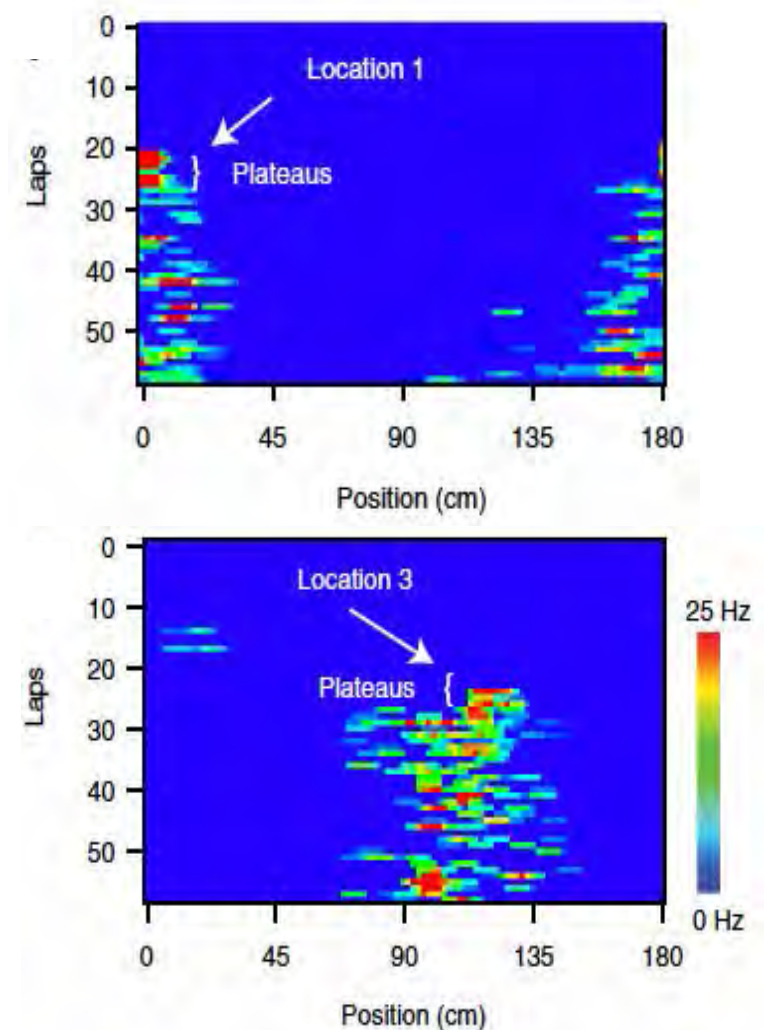
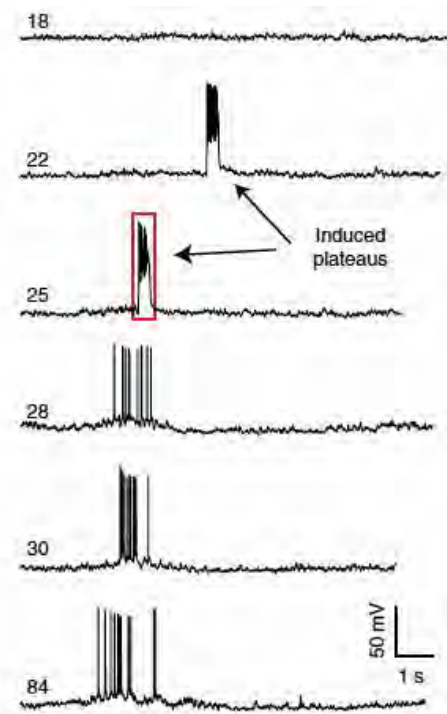
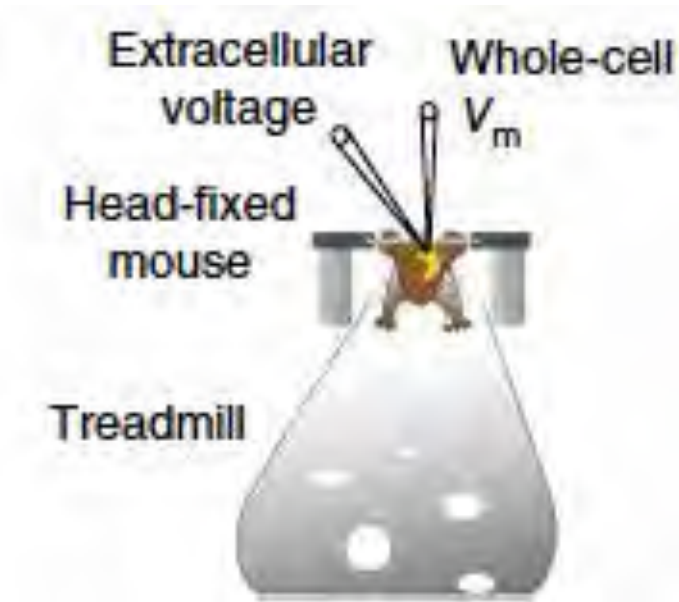
Back-propagation and Ca^{2+} spikes are necessary for LTP in vitro.

(Takahashi and Magee, 2009)

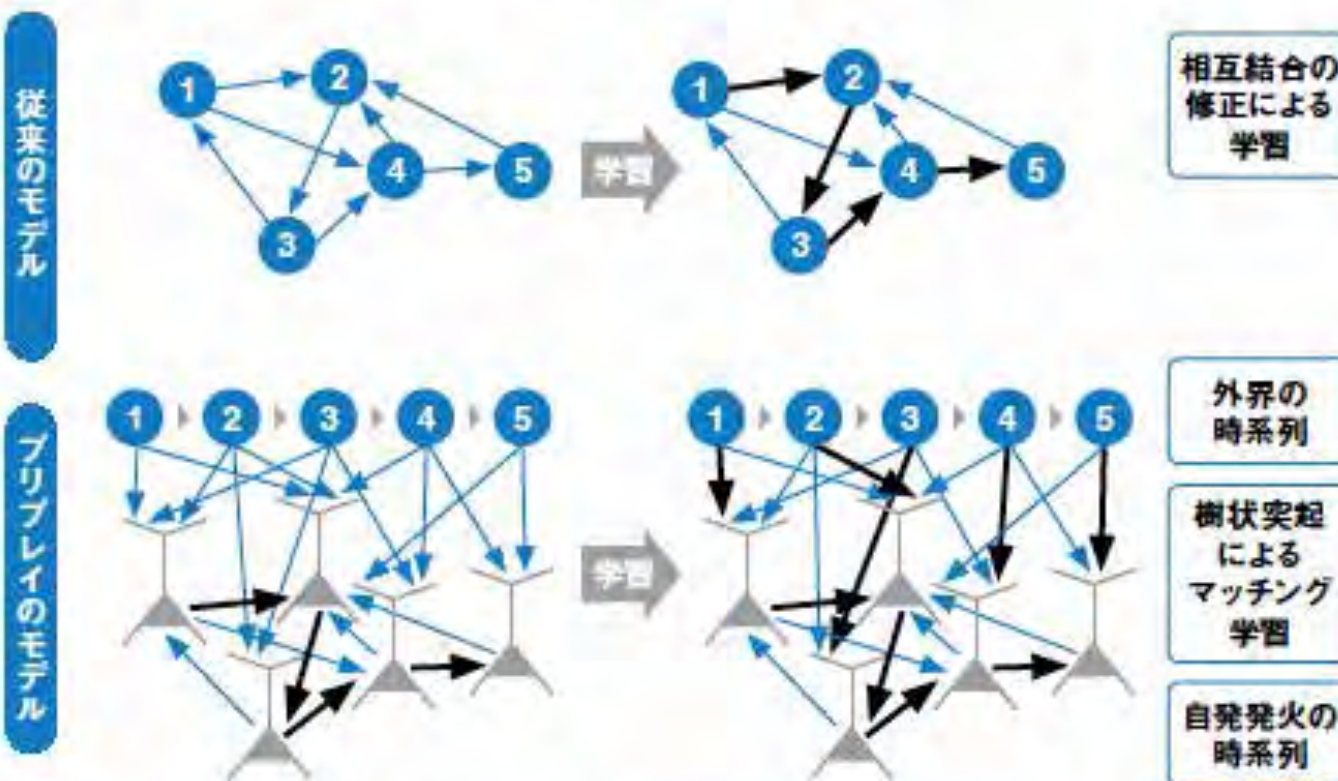
Induced dendritic Ca^{2+} plateaus is sufficient for new place-field formation

(Bittner et al., Nat Neurosci 2015)

Necessity of Ca^{2+} spikes for LTP has been known in vitro (e.g., Takahashi and Magee, 2009)



時系列を学習する神経回路



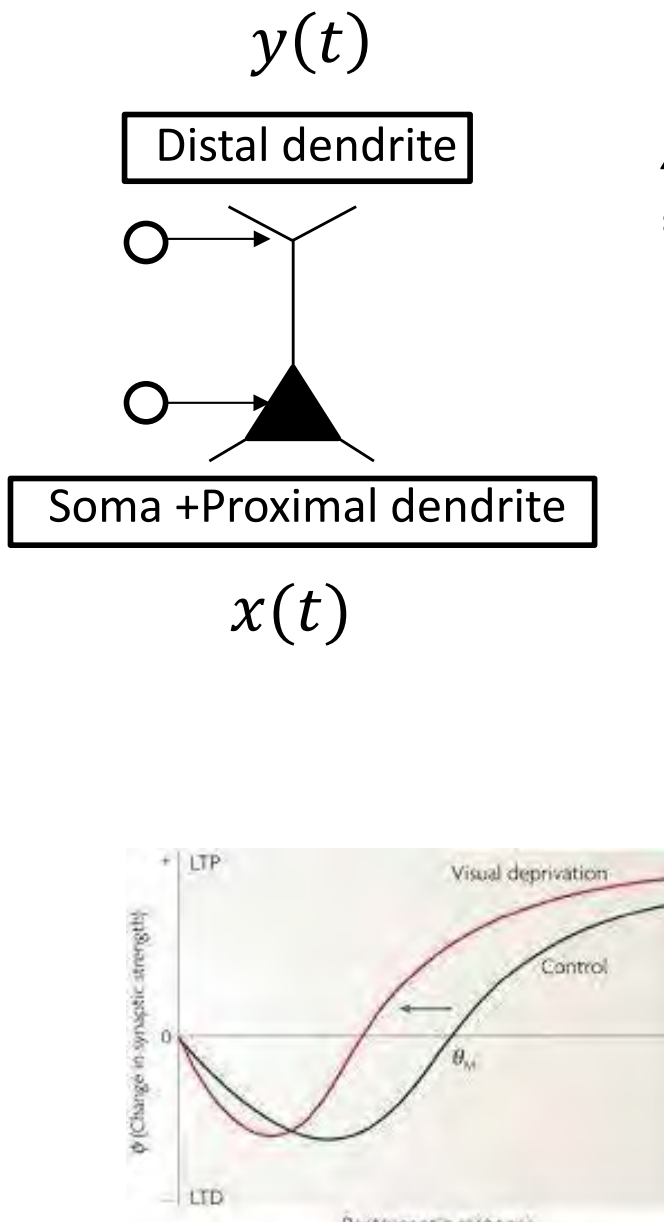
記憶の仕組みを示す。脳は学習するよりも前に、未来の経験を記憶するために必要な内部状態を有している。上の図(従来のモデル)では、●はニューロンを指し、番号はそのニューロンへの入力の順番、つまりそのニューロンの発火の順番を指す。下の図では、上の●は入力とその順番、下の△はニューロンを指す。番号は自発発火の順番。細い矢印は弱い結合、太い矢印は強い結合を示す。左の図は学習前、右の図は学習後で、学習によってシナプス結合が強まったことを示している。

← 弱い結合
→ 強い結合

Plasticity model

(Haga and Fukai, bioRxiv)

doi: <https://doi.org/10.1101/165613>



Learning rule for synapses in somatic compartments

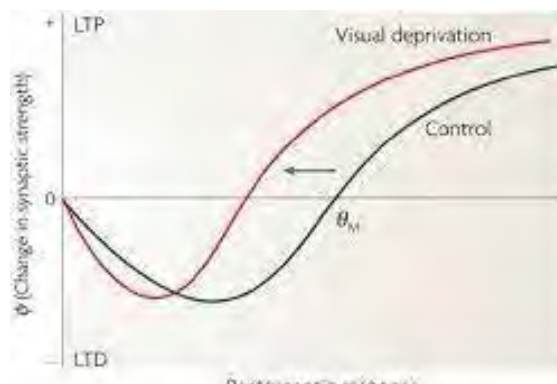
$$\Delta w_j^{\text{som}}(t) = \eta(x(t)(x(t) - \theta^{\text{som}}) + \underline{\alpha x(t)y(t)})(1 - x(t))I_j^{\text{som}}(t)$$

BCM theory for local activity LTP by calcium spikes Presynaptic input

Learning rule for synapses in distal dendrites

$$\Delta w_j^{\text{dnd}}(t) = \eta(y(t)(y(t) - \theta^{\text{dnd}}) + \underline{\alpha x(t)y(t)})(1 - y(t))I_j^{\text{dnd}}(t)$$

Moving average $\theta^{\text{som}} = \frac{1}{r_0} E[x(t)]^2, \theta^{\text{dnd}} = \frac{1}{r_0} E[y(t)]^2$

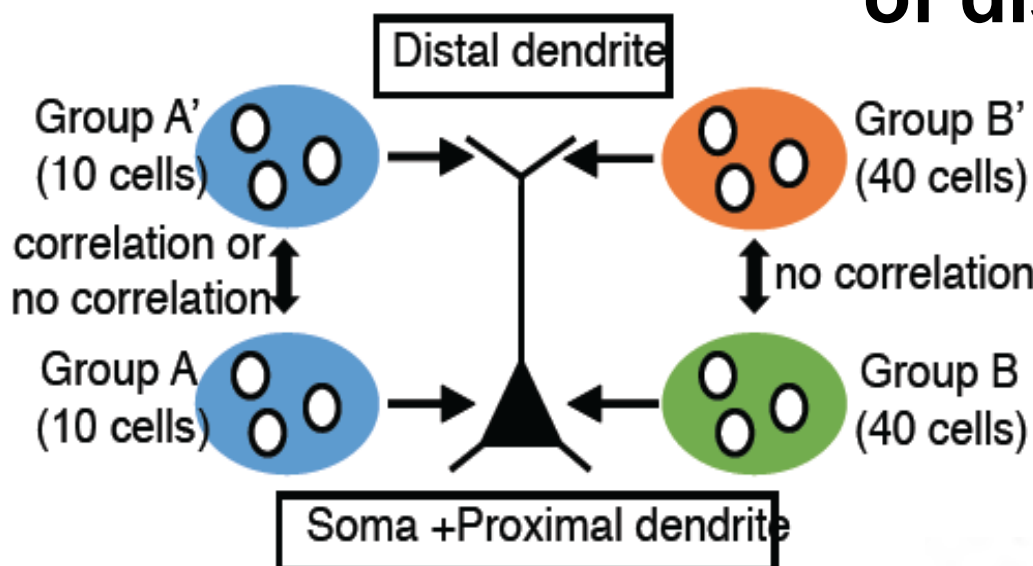


Bienenstock-Cooper-Munro Theory of Hebbian plasticity (1982)

Sliding threshold for LTP/LTD

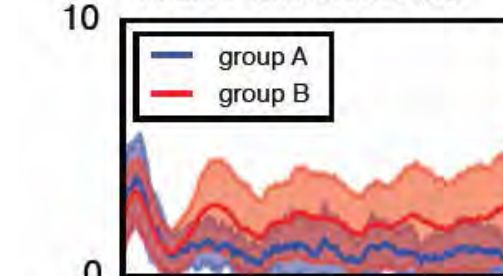
STDP is equivalent to BCM for random and uncorrelated neuronal firing

Canonical Correlation Analysis of distal and proximal inputs



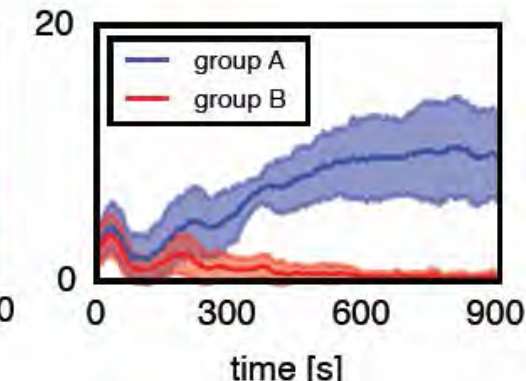
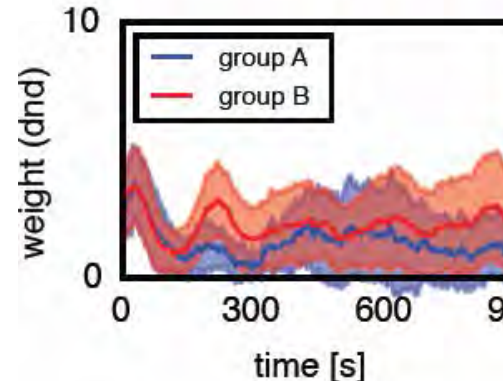
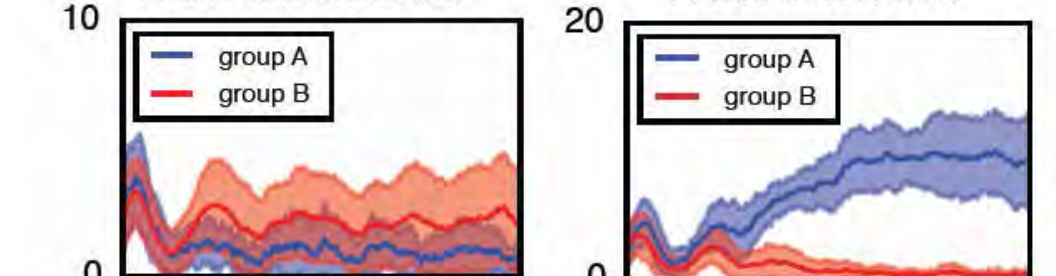
PCA-like

2-compartment
A & A' uncorrelated

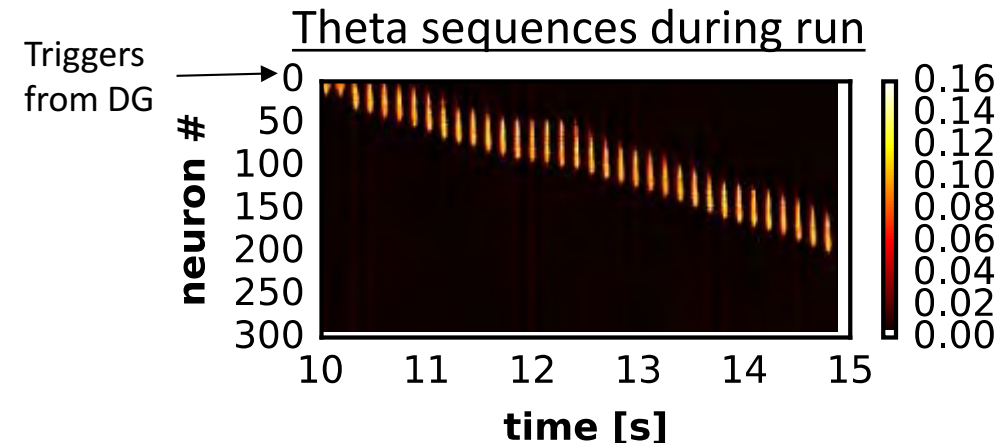
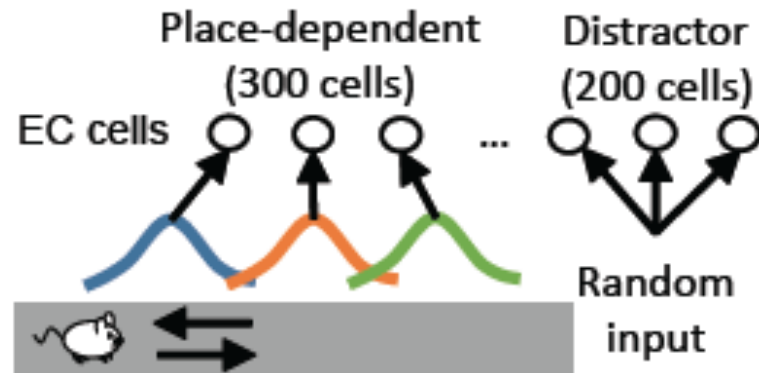
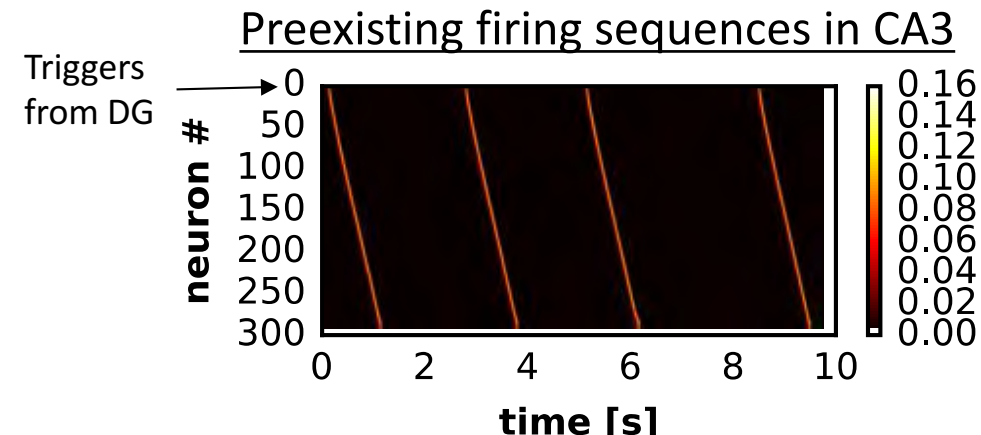
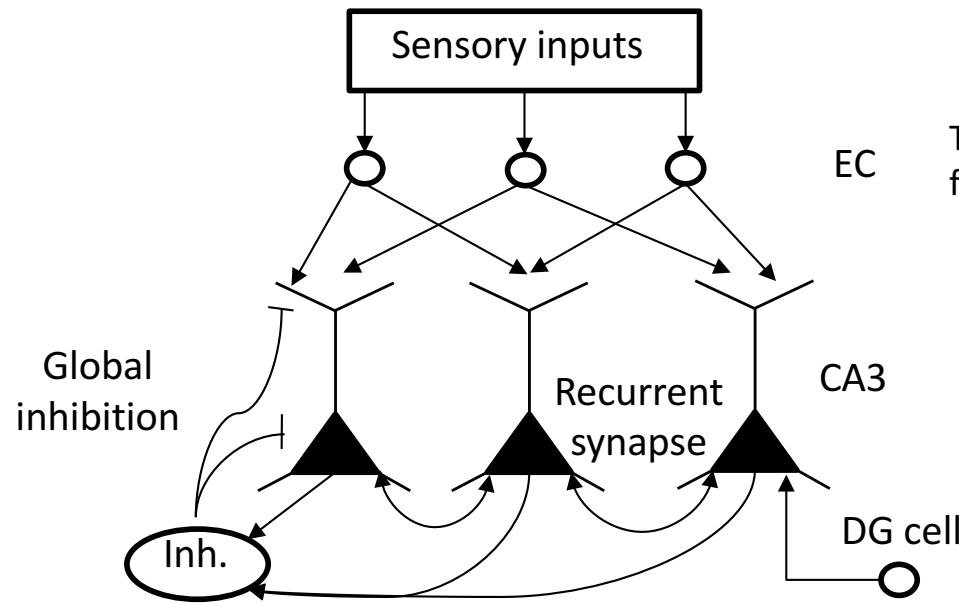


CCA-like

2-compartment
A & A' correlated

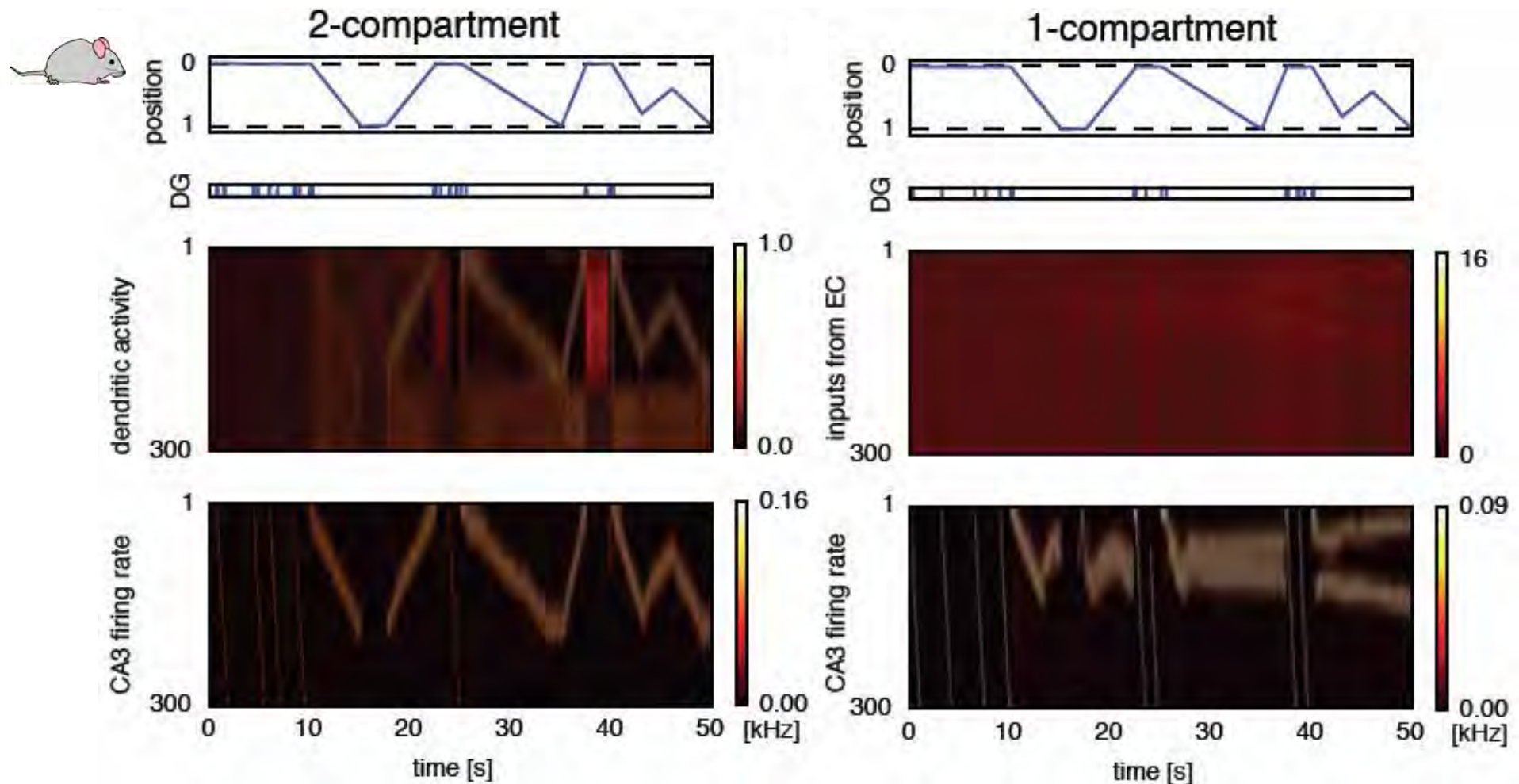


Place coding by recurrent network model



One-short learning of space info by preplay

Recurrent activity supervises learning of afferent synapses
in the two-compartment model

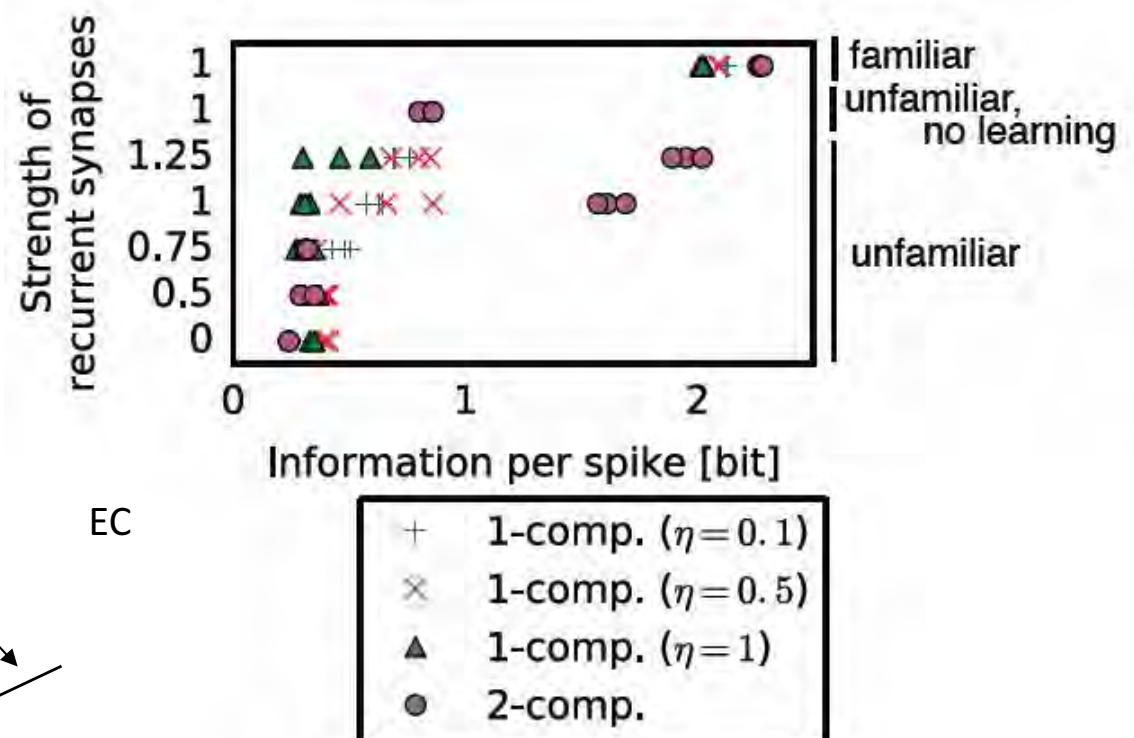
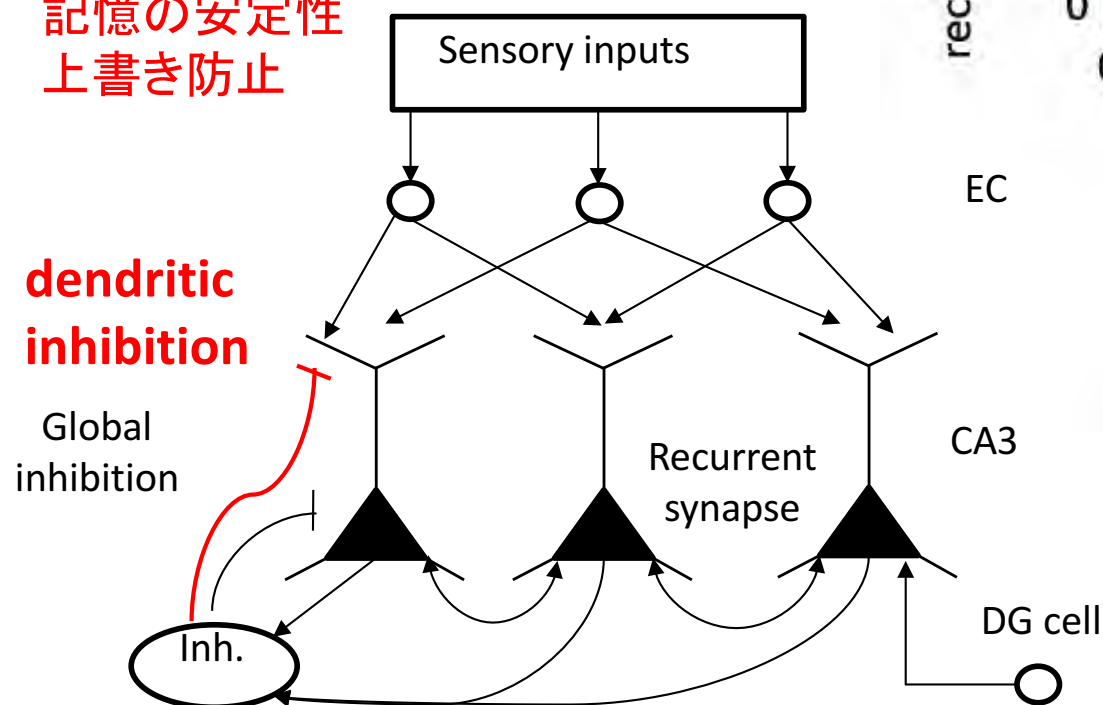


Recurrent connections (preplay) are crucial for memory formation

Mutual information between space and neural activity

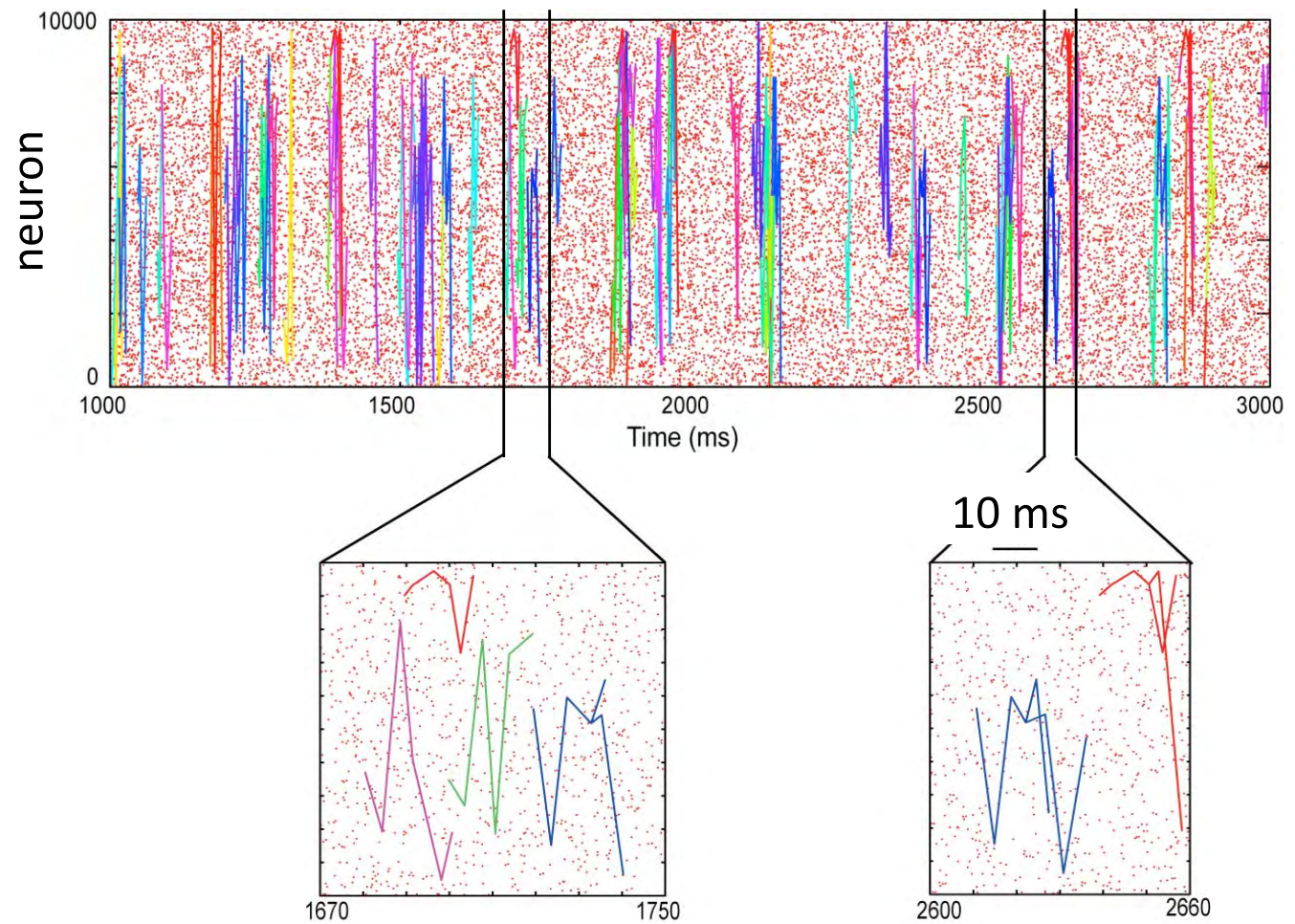
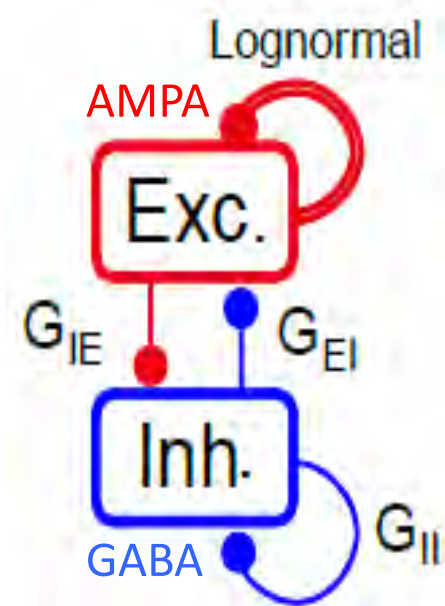
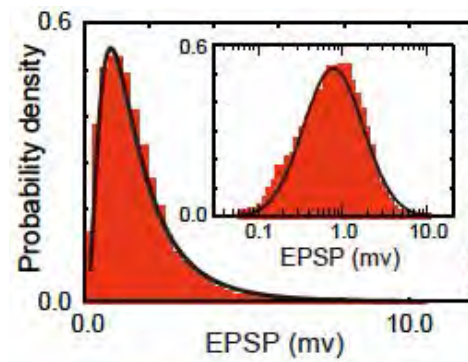
樹状突起抑制の必要性

記憶の安定性
上書き防止



脳の自発発火は時系列で出来ている

(Lefort et al., Neuron 2009)



Teramae, Tsubo, Fukai (Sci Rep 2012)

Ohmura, Carvalho, Inokuchi, Fukai (J Neurosci 2015)

脳は学習する。何のために？

→ 外界をモデル化するため



では何のためにモデル化する

→ 世界の動きを予測するため

統計的モデル

予測符号化に基づく大脳皮質の階層的計算

脳は現実と予想の差を最小化している？

Srinivasan et al., 1982

Friston, 2005

Smith and Lewicki, 2006

...

高次領野による情報
の統合と外界の確率
モデルの形成

前領域の確率モデル

入力情報の特徴の解析

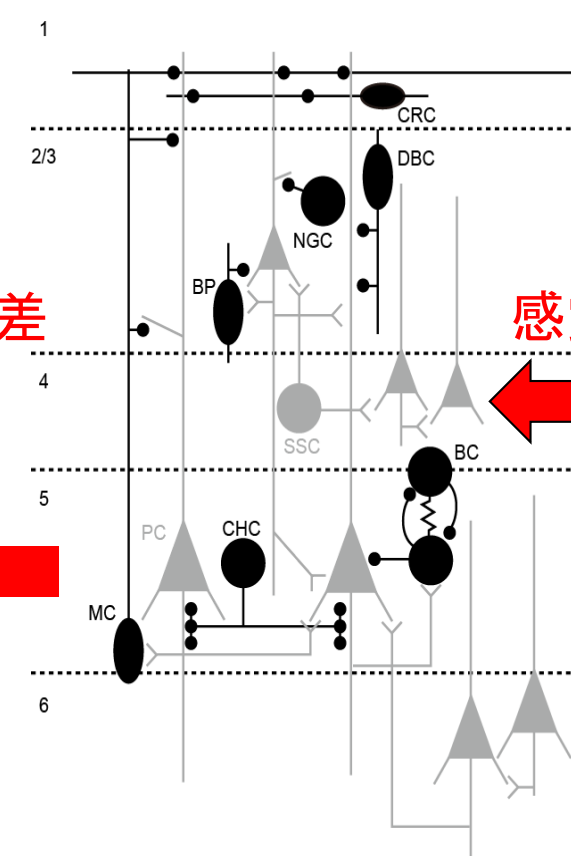
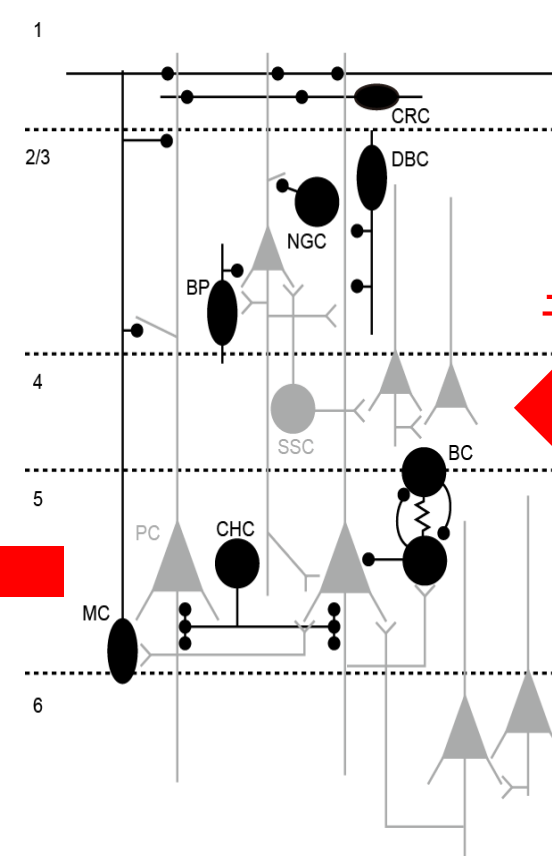
高次領野から →

予測 →

予測誤差 ←

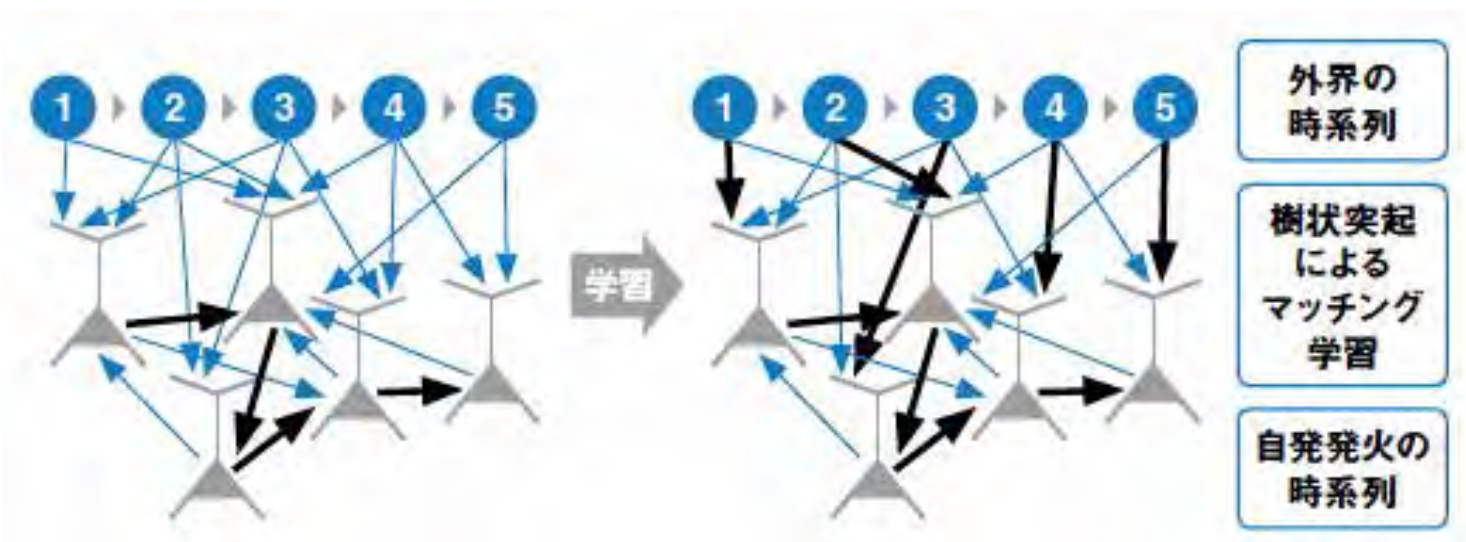
← 高次領野へ

感覚情報 ←



まとめ1 プリプレイ的脳感

脳には記憶を表現する回路構造(自発活動)が予め備っており、学習により経験が「脳の内部状態」に関連付けられる



内部状態 = 意識のメカニズム？

外界に存在する規則性の検出

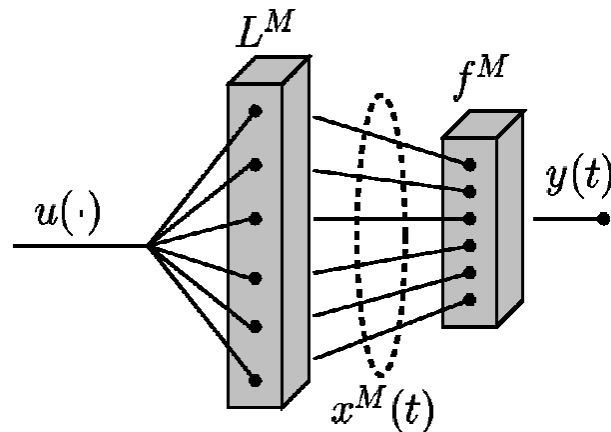
リザーバ計算による時系列のチャネル構造の学習

朝吹 & 深井 投稿準備中

Conceptual models of cortical information processing

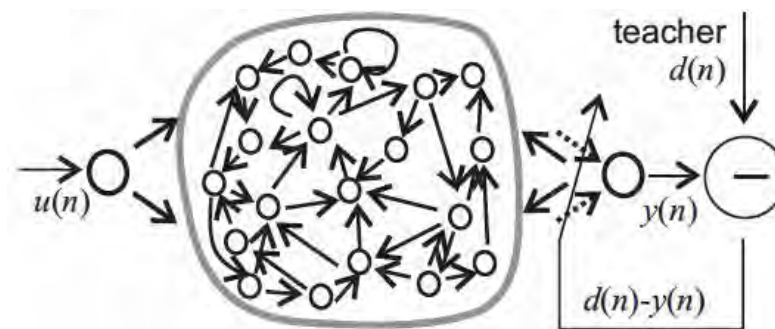
Liquid state machine

Maass, Natschlaeger and Markram, Neural Comput (2002)



Echo state machine

Jaeger and Haas, Science (2004)

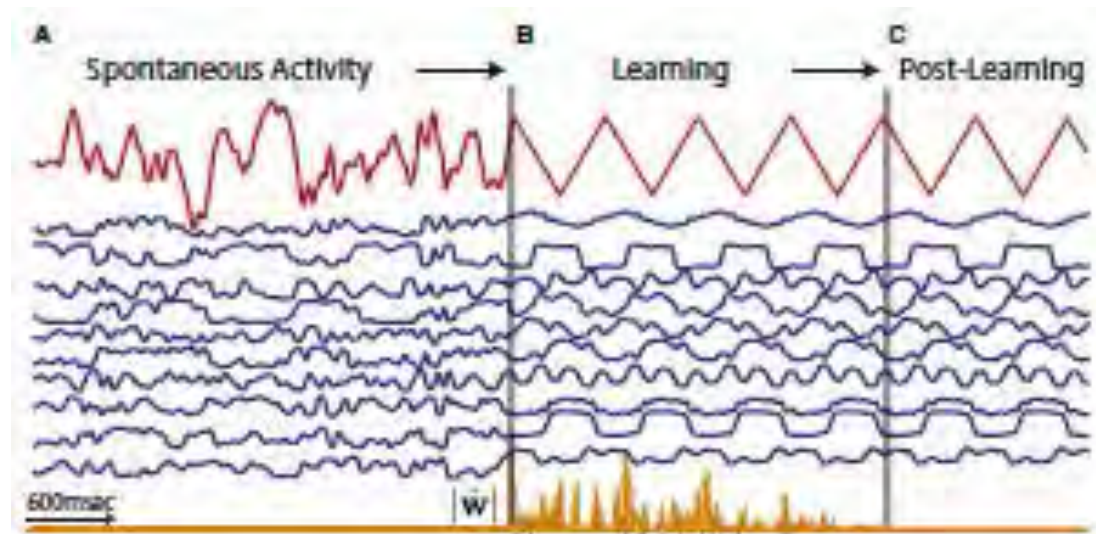
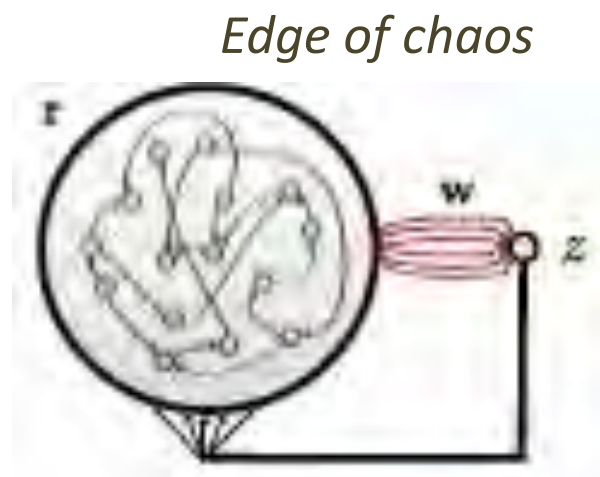


Reservoir computing with strong E/I balance

Random networks

Synaptic strength scales as $1/\sqrt{K}$

FORCE learning \leq Supervised learning



$$z(t) = \mathbf{w}^T \mathbf{r}(t).$$

$$\mathbf{w}(t) = \mathbf{w}(t - \Delta t) - \mathbf{e}_-(t) \mathbf{P}(t) \mathbf{r}(t),$$

$$\mathbf{P}(t) = \mathbf{P}(t - \Delta t) - \frac{\mathbf{P}(t - \Delta t) \mathbf{r}(t) \mathbf{r}^T(t) \mathbf{P}(t - \Delta t)}{1 + \mathbf{r}^T(t) \mathbf{P}(t - \Delta t) \mathbf{r}(t)}.$$

(Sussillo and Abbott, Neuron 2009)

Reservoir computing for motor control

→ Training in recurrent spiking networks

MacNeil and Eliasmith 2011

Boelin et al., 2013

Bourdoukan and Deneve 2015

Abbott et al., Nat Neurosci 2016 (Review)

Aditya and Gerstner, 2017

...

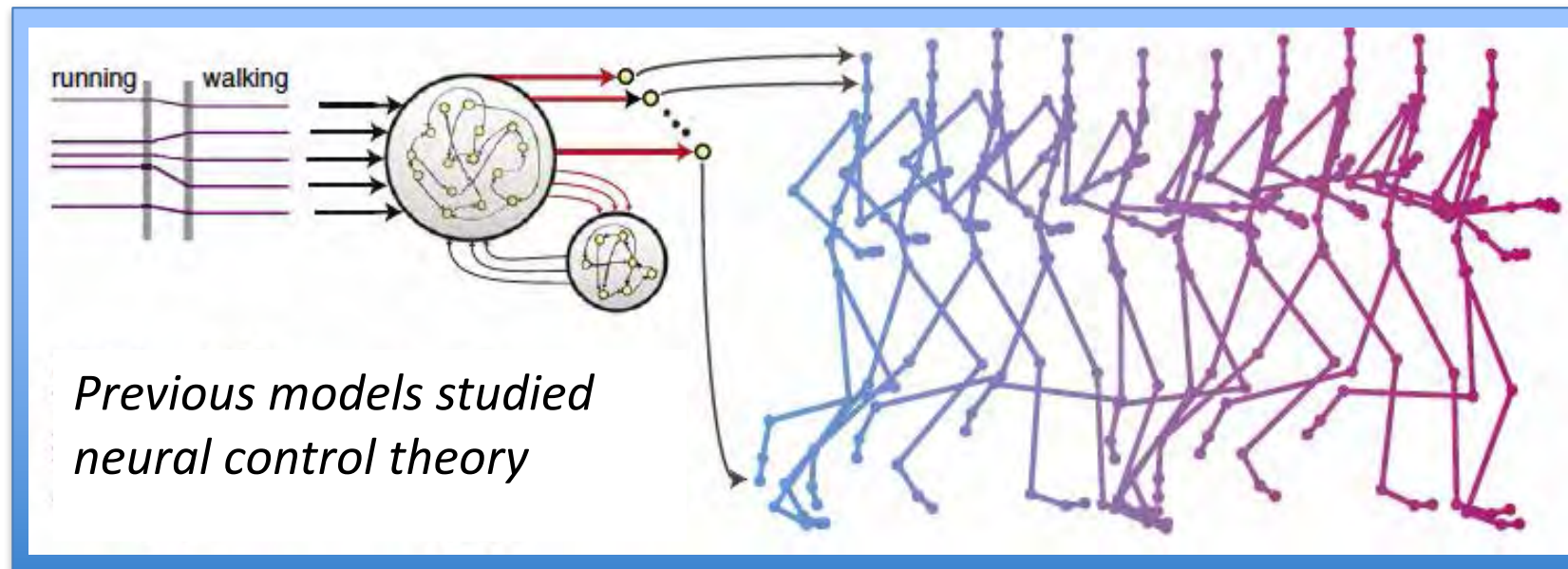
→ Theoretical studies

Toyoizumi and Abbott, Phy Rev E, 2011

Rivkind A, Barak O, Phys Rev Lett 2017

...

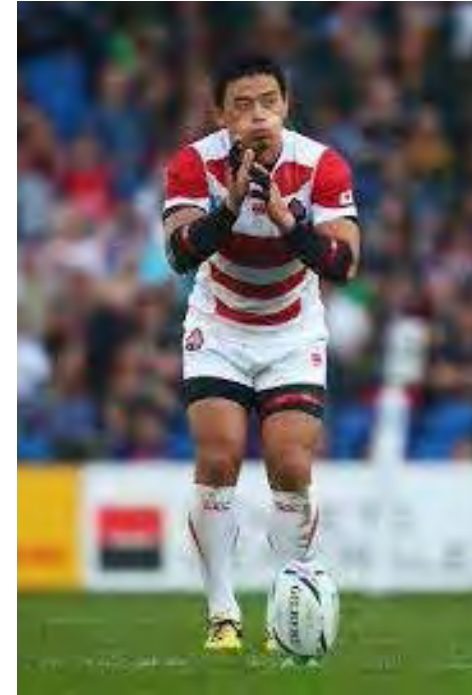
Q. より高次の機能を生成できるか？



(Sussillo and Abbott, Neuron 2009)

Chunk learning

外界のコンパクトな表現を求めて



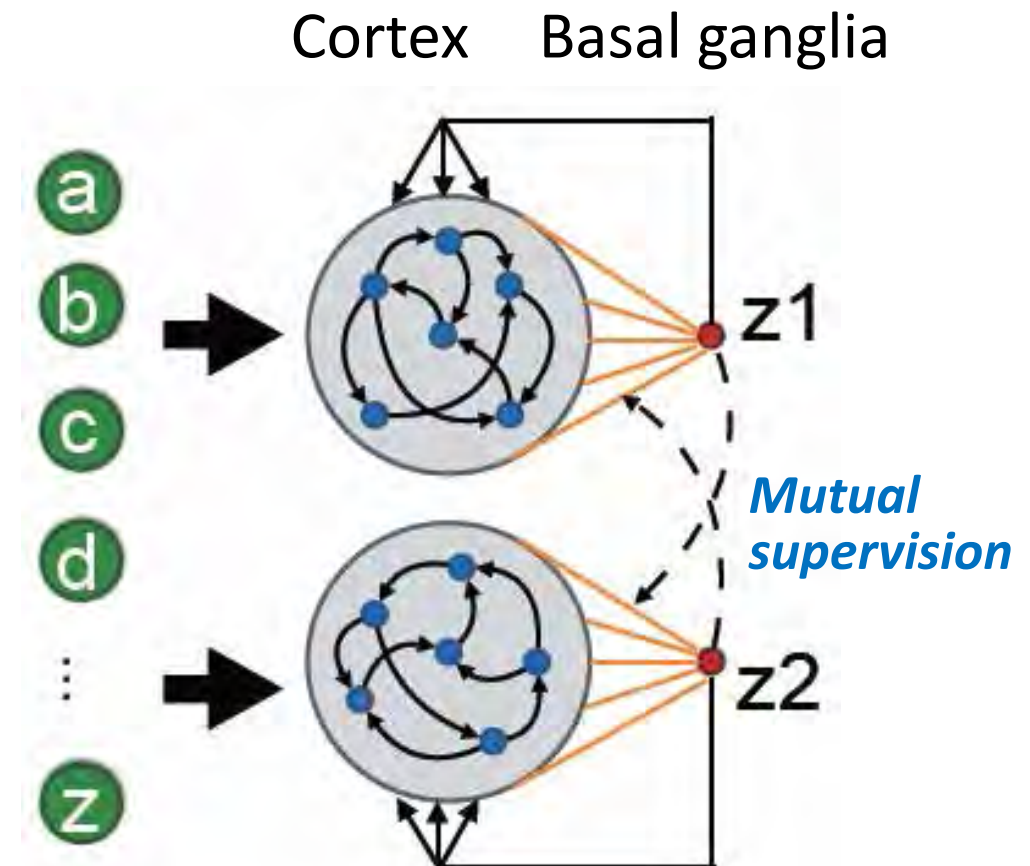
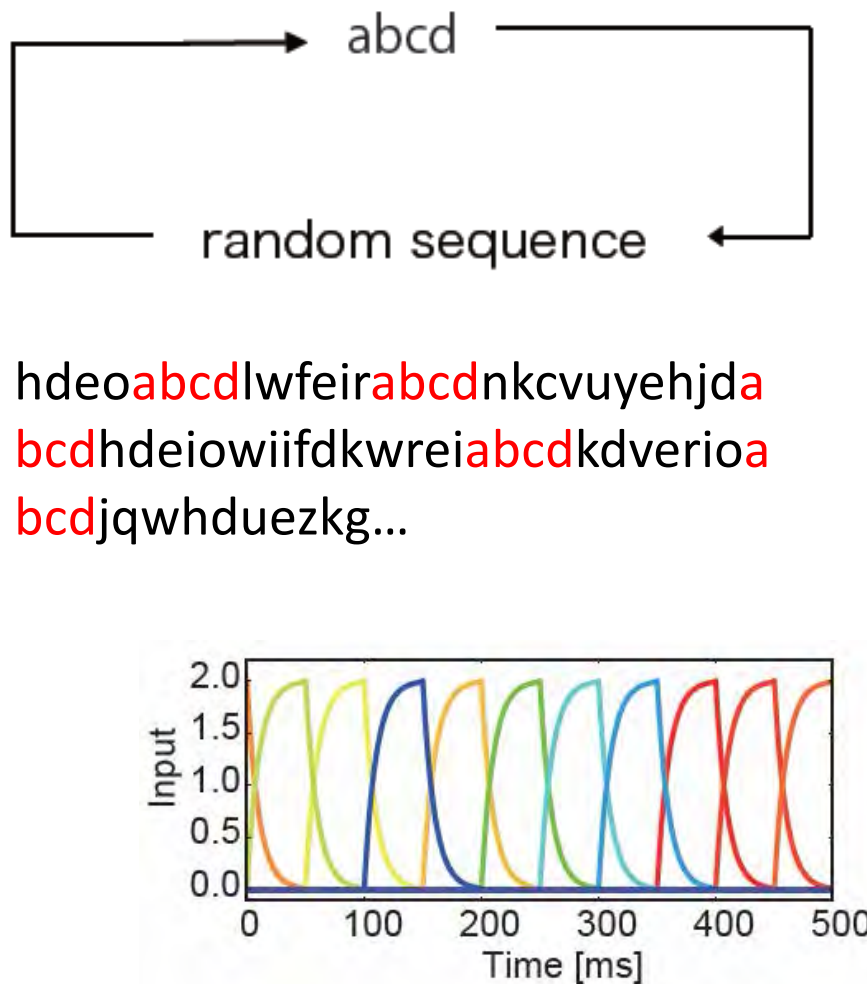
- Sensory scene analysis
- Motor routines
- Habituation
- Language acquisition
- Concept formation?

...



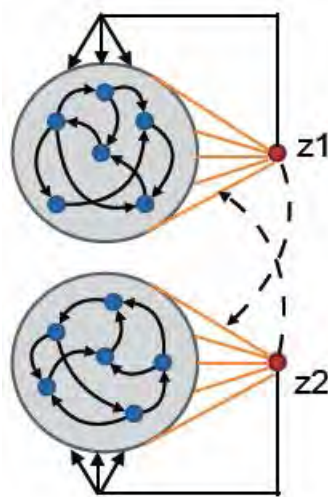
Chunking by reservoir computing

Detection of regularity in irregular sequences

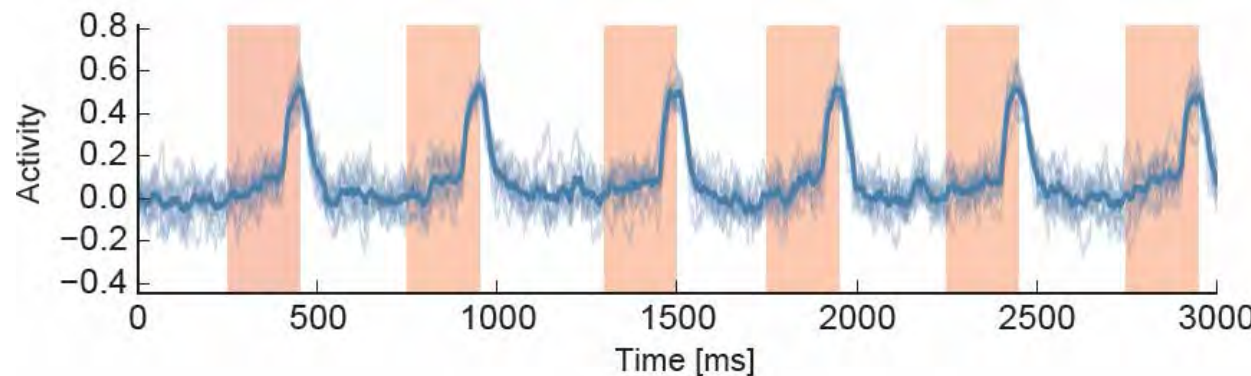


(Asabuki et al., in preparation)

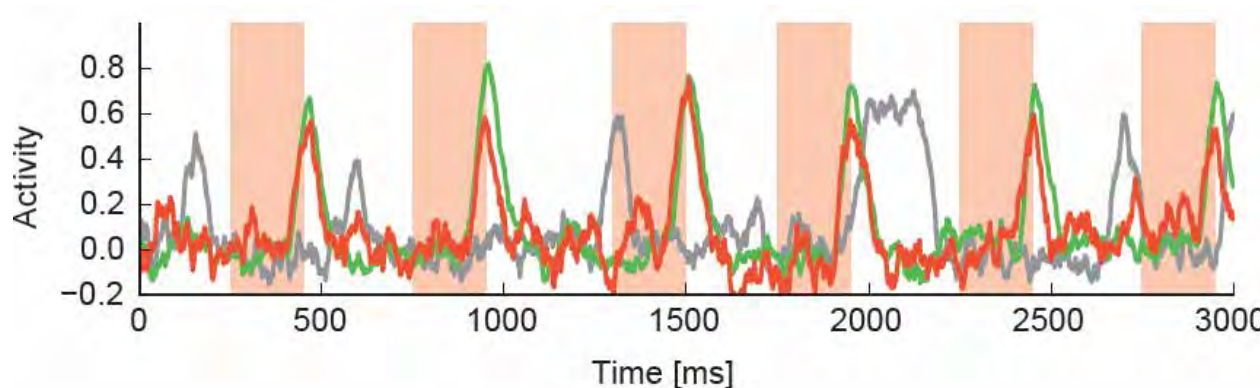
Pre-learning readout activity



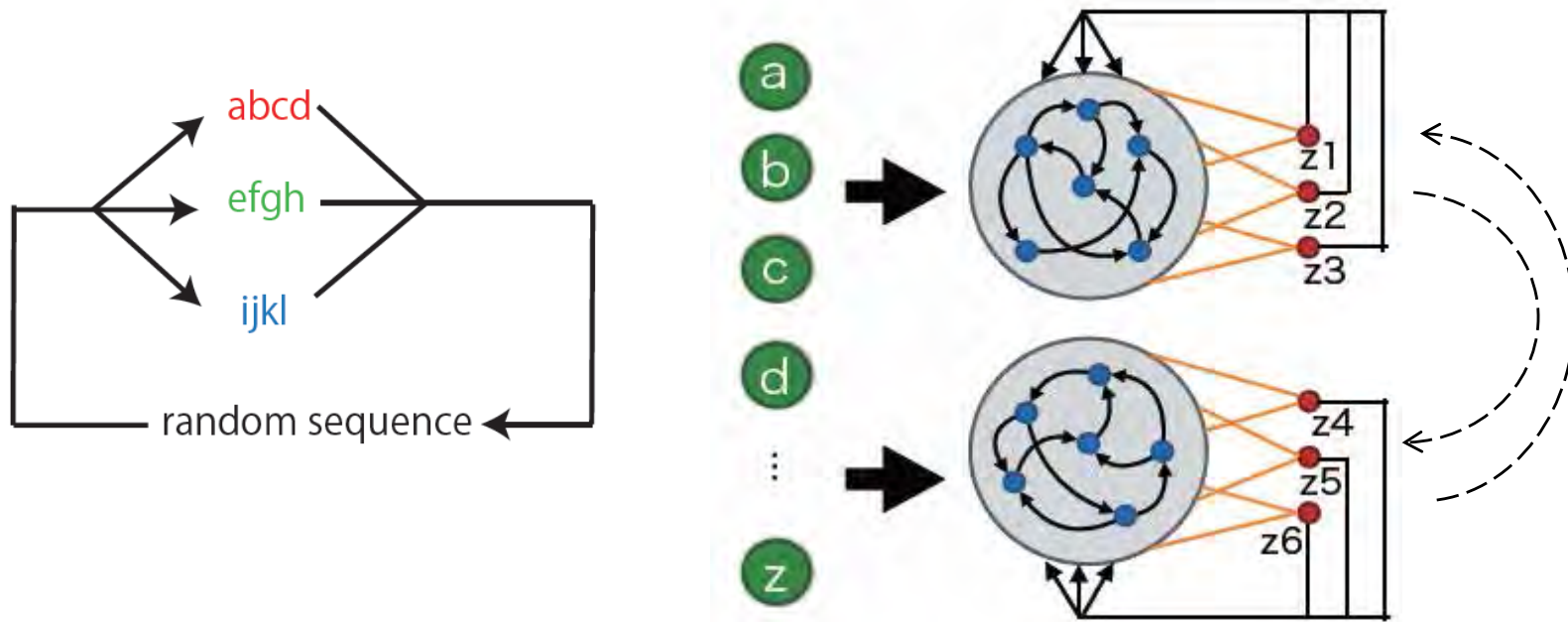
Post-learning climbing activity of readout neurons



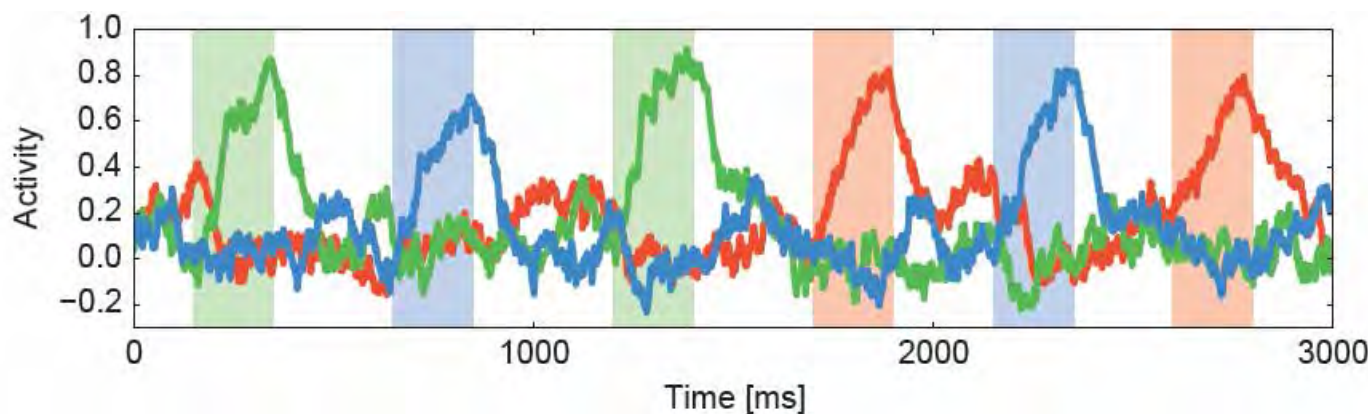
Post-learning reservoir neuron activity



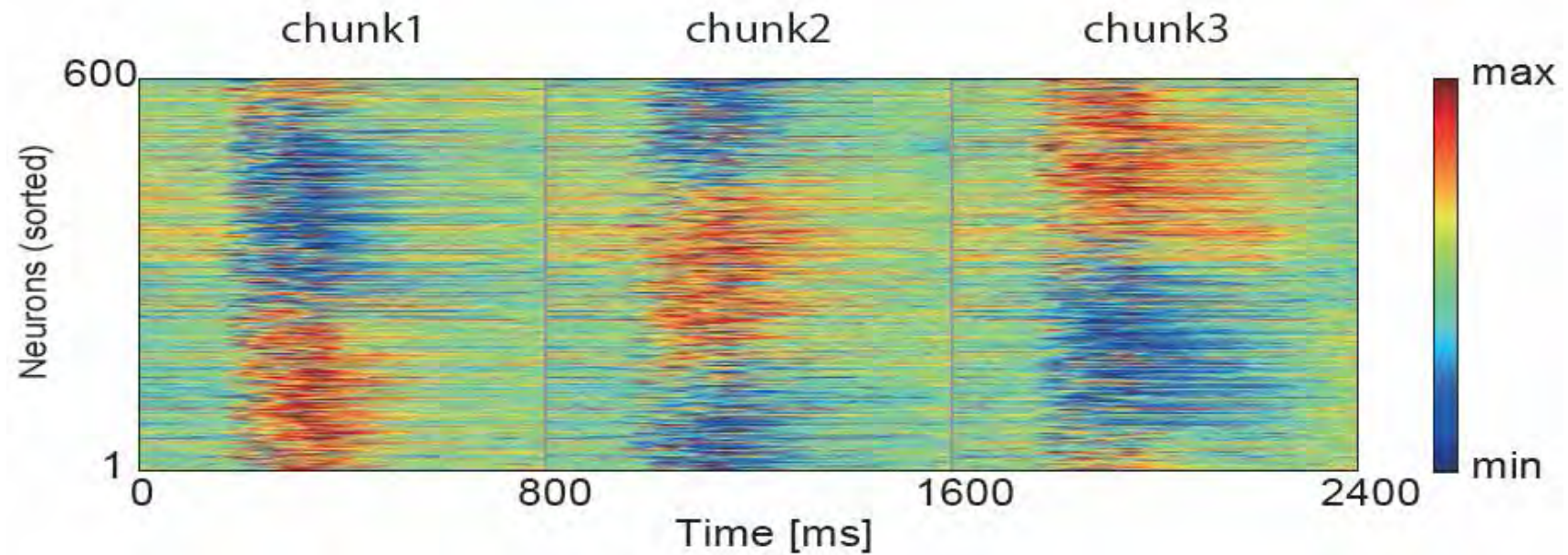
Multiple chunks



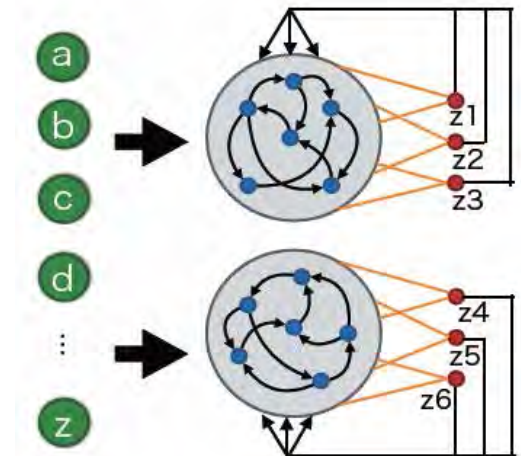
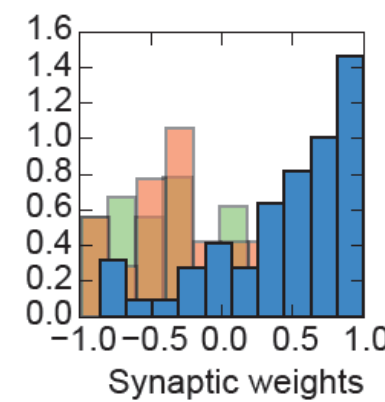
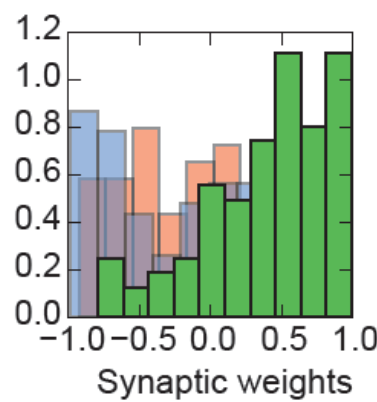
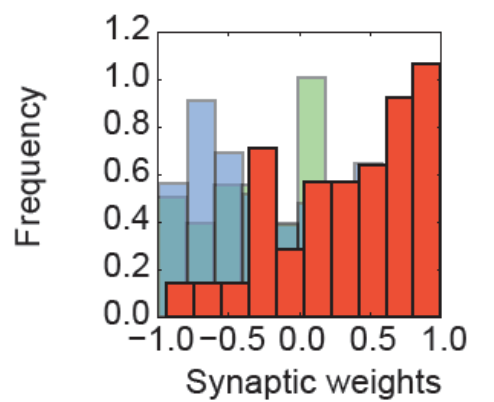
Post-learning readout activity



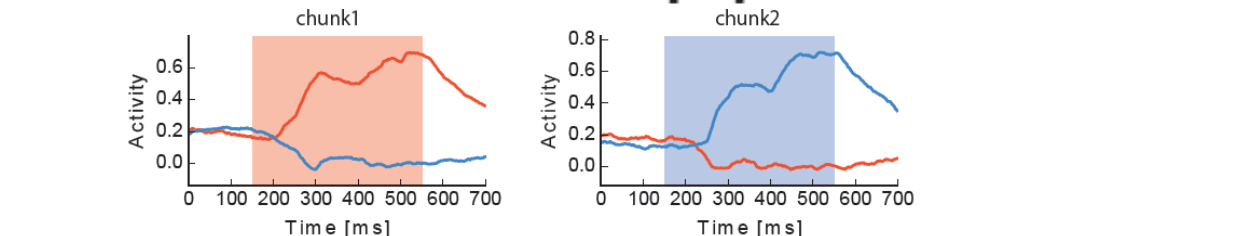
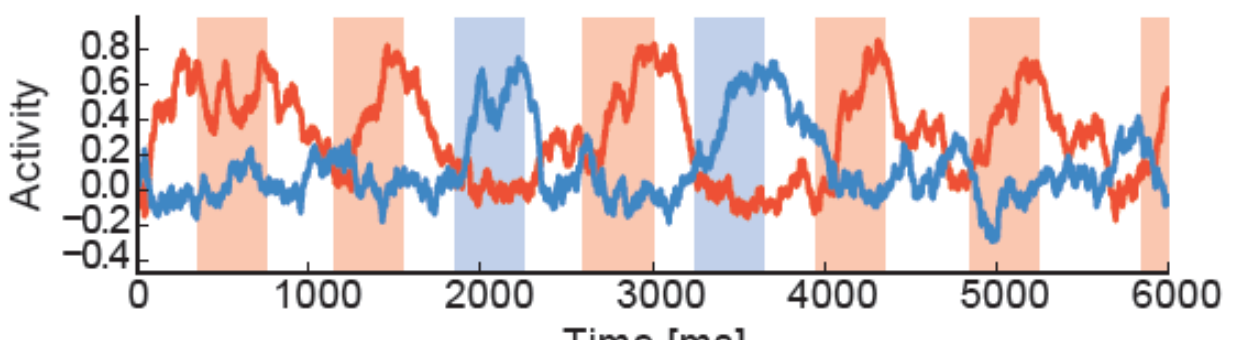
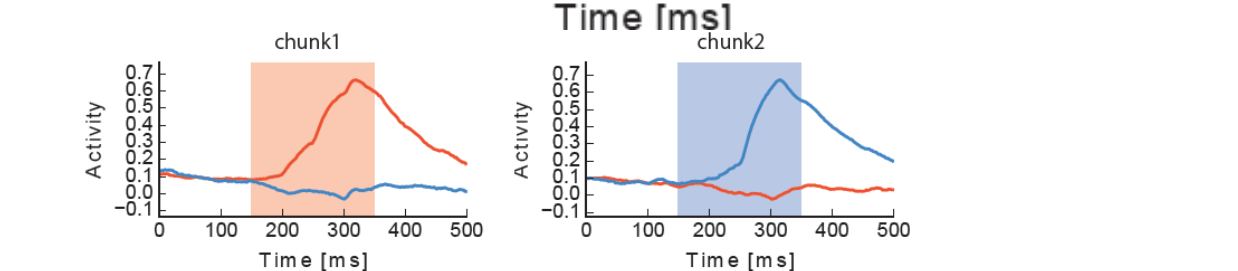
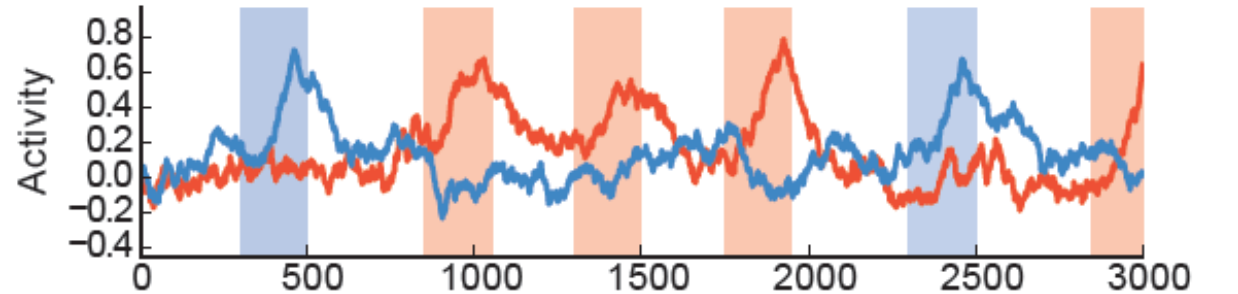
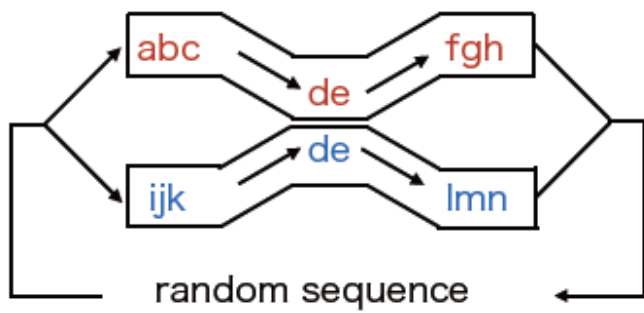
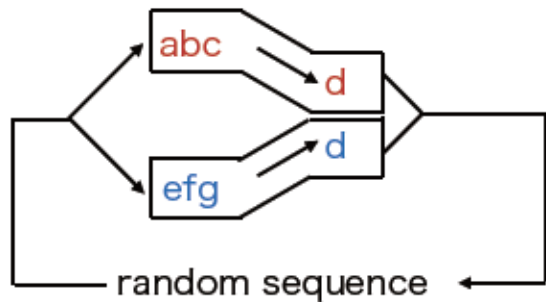
Synaptic wiring



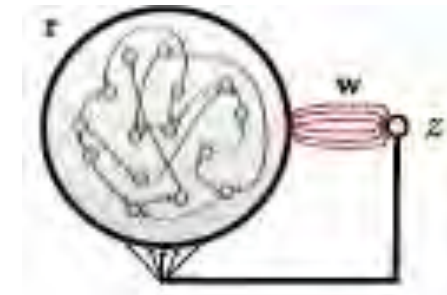
feedback connections



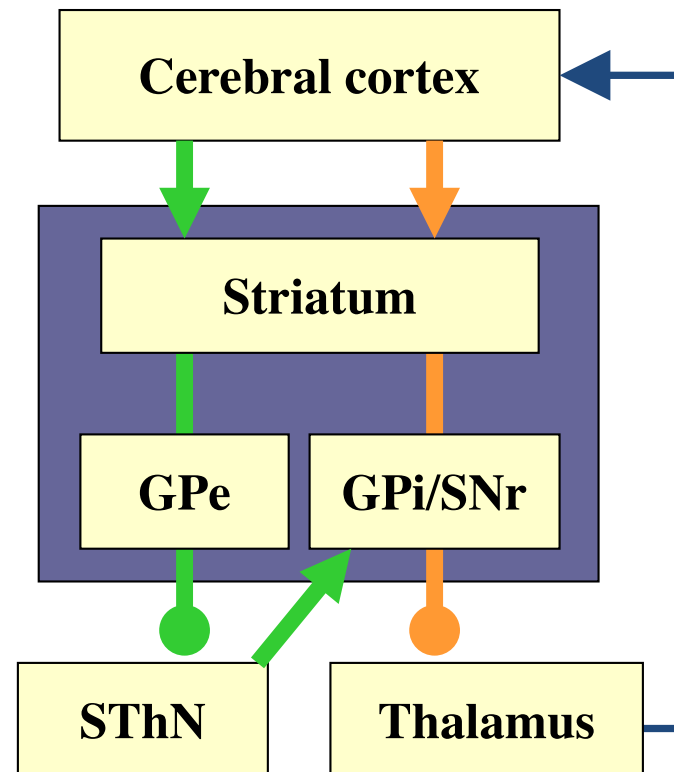
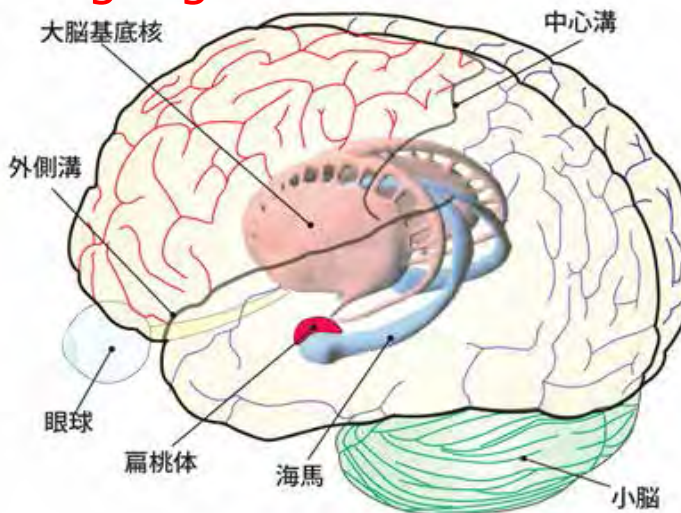
Overlaps



Cortico-basal ganglia loops for cognitive motor behavior

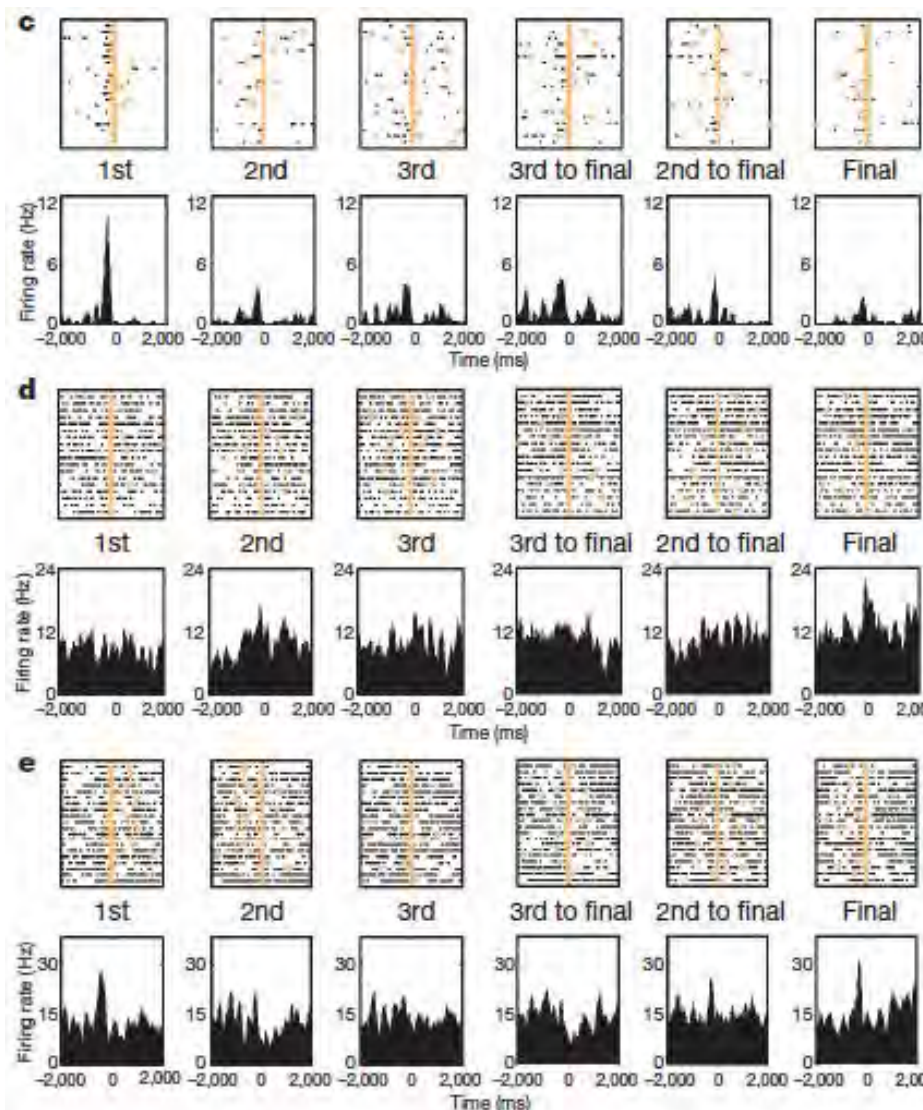


Basal ganglia



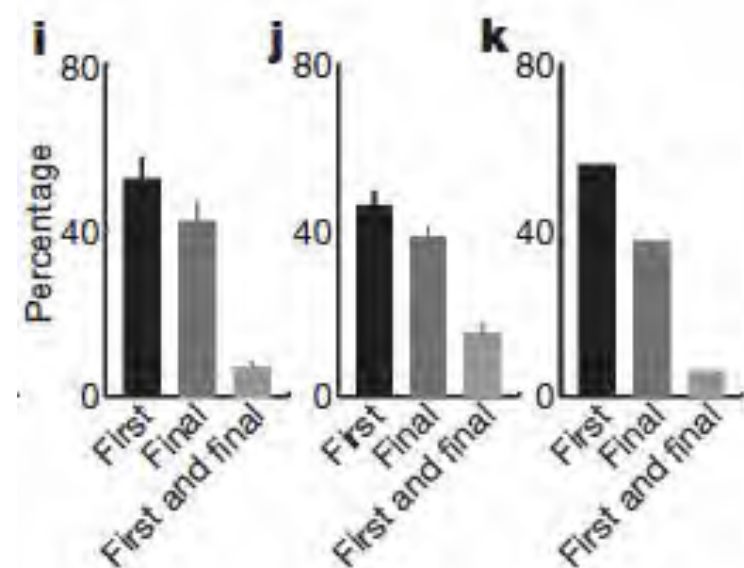
Start/stop signals emerge in nigrostriatal circuits during sequence learning

Xin Jin¹ & Rui M. Costa^{1,2}



Mice learned to generate a fixed number of lever press.

STR MSNs SN GABA SN DA



まとめ2 リザーバ計算に基づく規則性の発見

- 相互に教え合うリザーバ計算機
- 大脳基底核のSTOP細胞に似た活動の生成

まとめ

脳の学習メカニズムと、それにより外界をモデル化するメカニズムを実現できれば、ヒトらしいAIが創れるかもしれない。

Summary

Reservoir computing systems can supervise each other to enable unsupervised learning of multiple chunks from random sequences.

The resultant systems can account for stop cells in the striatum.